

PŘIHLÁŠKA VYNÁLEZU

zveřejněná podle § 31 zákona č. 527/1990 Sb.

(19)
ČESKÁ
REPUBLIKA



ÚŘAD
PRŮMYSLOVÉHO
VLASTNICTVÍ

(22) Přihlášeno: **14.02.2011**
(40) Datum zveřejnění přihlášky vynálezu: **22.08.2012**
(Věstník č. 34/2012)

(21) Číslo dokumentu:

2011-578

(13) Druh dokumentu: **A3**

(51) Int. Cl.:

C12Q 1/68 (2006.01)
G01N 33/50 (2006.01)
C12N 15/12 (2006.01)

(71) Přihlašovatel:

Ústav informatiky AV ČR, v. v. i. Centrum
biomedicínské informatiky, Praha 8, CZ

(72) Původce:

Zvárová Jana Prof. RNDr. DrSc., Praha 4, CZ
Mazura Ivan Doc. RNDr. CSc., Praha 3, CZ
Valenta Zdeněk Doc. Mgr. Ph.D., Velké Přílepy, CZ
Feglarová Petra Ing. Bc., Šestajovice, CZ
Grunfeldová Hana MUDr., Schořov, CZ

(74) Zástupce:

Inventia s.r.o., RNDr. Kateřina Hartvichová, Na Bělidle
3, Praha 5, 15000

(54) Název přihlášky vynálezu:

**Způsob identifikace osob se zvýšeným
genetickým rizikem výskytu infarktu
myokardu**

(57) Anotace:

Řešení popisuje způsob identifikace osob se zvýšeným genetickým rizikem výskytu akutního infarktu myokardu, a s nízkým rizikem následného úmrtí v důsledku kardiovaskulárních komplikací v časovém horizontu do 6 měsíců od okamžiku výskytu srdeční příhody, spočívající v tom, že se v biologickém vzorku odebraném z těla pacienta stanoví intenzita exprese genů a genetických lokusů OLIG2, VNN3, MS4A3, CEBPE, FOS, LIPA, LOC645649, (M97723), EPAS1, CLINT1, MYCT1, VPS29 a LOC 130951. Logaritmovaná hodnota intenzity exprese při základu 2 se následně srovná s referenční hodnotou intenzity exprese, přičemž odchylka od referenční hodnoty rovná alespoň minimální odchylce u všech uvedených genů a genetických lokusů značí zvýšené riziko.

Způsob identifikace osob se zvýšeným genetickým rizikem výskytu infarktu myokardu

Oblast techniky

Předkládaný vynález se týká způsobu identifikace osob v české populaci, které vykazují zvýšené genetické riziko výskytu akutního infarktu myokardu, se zřetelem k jejich přežití v krátkodobém časovém horizontu od doby výskytu srdeční události. Identifikace je prováděna na základě stanovení profilu genové exprese vybraných genů lidského genomu.

Dosavadní stav techniky

Infarkt myokardu a cévní mozková příhoda jsou dvěma nejzávažnějšími klinickými projevy aterosklerózy. Riziko rozvoje těchto onemocnění se odhaduje na základě známých rizikových faktorů. Rozsah onemocnění je v současnosti zjišťován řadou vyšetření, jakými jsou např. scintigrafie, magnetická rezonance, katetrizační vyšetření. Každé z těchto vyšetření má však i svá omezení, např. radiační zátěž nebo invazivitu vyšetření. Aterosklerotické pláty jsou zkoumány na buněčné i molekulární úrovni, včetně sledování buněk v cirkulaci jako odpovědi na zánětlivý proces v cévách.

Identifikace genů pomocí molekulárně biologických metod znamenala v posledních letech výrazný posun nejen v odhalení příčin některých závažných, život ohrožujících, onemocnění člověka (např. některé onkologické diagnózy, závažné dědičné poruchy metabolismu člověka či další poruchy neuromuskulárního, gastrointestinálního a oběhového systému, včetně aterosklerózy atd.), ale v neposlední řadě také významně rozšířila naše znalosti o vzniku a rozvoji akutního infarktu myokardu (AIM) (Yukihiro Hojo, Uichi Ikeda, Yun Zhu, Motoi Okada, Shuichi Ueno, Hiroshi Arakawa, Hideyuki Fujikawa, Taka-aki Katsuki, and Kazuyuki Shimada. Expression of vascular endothelial growth factor in patients with acute myocardial infarction. *J Am Coll Cardiol*, 35(4):968-973, March 2000; Merry L. Lindsey. MMP Induction and Inhibition in Myocardial Infarction. *Heart Failure Reviews*, 9(1):7-19, January 2004). Detailnějším pochopením jednotlivých stádií IM se dostávají do popředí i otázky možnosti prevence a účinnější léčby onemocnění. S rozvojem moderních technologií se molekulárně biologický výzkum obecně posouvá od klasického modelu odhalování konkrétních genetických lokusů, resp. genetických polymorfismů, působících poruchu

jednoho genu ke snaze monitorovat polygenní a multifaktoriální poruchy člověka pomocí genomických a expresních čipů, jejichž analýza v současnosti poskytuje komplexnější obraz onemocnění (Joseph S. Verducci, Vincent F. Melfi, Shili Lin, Zailong Wang, Sashwati Roy, and Chandan K. Sen. Microarray analysis of gene expression: considerations in data mining and statistical treatment. *Physiological Genomics*, 25(3):355–363, May 2006). Především studium tzv. expresních čipů zažívá v lékařských vědách velký rozvoj, protože umožňuje posoudit mnoho genových transkriptů a jejich expresních variant najednou v kritickém stádiu onemocnění (multivarianční analýza, randomizační studie) (Lawrence W. Stanton, Lisa J. Garrard, Deborah Damm, Brett L. Garrick, Andrew Lam, Ann M. Kapoun, Qiang Zheng, Andrew A. Protter, George F. Schreiner, and R. Tyler White. Altered Patterns of Gene Expression in Response to Myocardial Infarction. *Circ Res*, 86(9):939–945, May 2000; Matthew B. Lanktree and Robert A. Hegele. Gene-gene and gene-environment interactions: new insights into the prevention, detection and management of coronary artery disease. *Genome medicine*, 1(2):28, February 2009).

Recentní práce posledních 5 let se intenzivně zabývají z mnoha úhlů pohledu nejen expresními profily osob s aterosklerózou, ale také osob s ischemickou chorobou srdeční ve vztahu ke vznikajícím zánětlivým procesům v cévách (Gemma Satterthwaite, Sheila E. Francis, Kim Suvarna, Stephen Blakemore, Chantelle Ward, Don Wallace, Martin Braddock, and David Crossman. Differential gene expression in coronary arteries from patients presenting with ischemic heart disease: further evidence for the inflammatory basis of atherosclerosis. *American heart journal*, 150(3):488–499, September 2005), osob s ischemickou a neischemickou kardiomyopatií při srdečním selhání (Michelle M. Kittleson, Khalid M. Minhas, Rafael A. Irizarry, Shui Q. Ye, Gina Edness, Elayne Breton, John V. Conte, Gordon Tomaselli, Joe G. Garcia, and Joshua M. Hare. Gene expression analysis of ischemic and nonischemic cardiomyopathy: shared and distinct genes in the development of heart failure. *Physiological genomics*, 21(3):299–307, May 2005; Michelle M. Kittleson, Shui Q. Ye, Rafael A. Irizarry, Khalid M. Minhas, Gina Edness, John V. Conte, Giovanni Parmigiani, Leslie W. Miller, Yingjie Chen, Jennifer L. Hall, Joe G. Garcia, and Joshua M. Hare. Identification of a gene expression profile that differentiates between ischemic and nonischemic cardiomyopathy. *Circulation*, 110(22):3444–3451, November 2004) a dále také osob s poškozením koronárních cév (James A. Wingrove, Susan E. Daniels, Amy J. Sehnert, Whittemore Tingley, Michael R. Elashoff, Steven Rosenberg, Lutz Buellesfeld, Eberhard Grube, L. Kristin Newby, Geoffrey S. Ginsburg, and William E. Kraus. Correlation of

Peripheral-Blood Gene Expression With the Extent of Coronary Artery Stenosis / CLINICAL PERSPECTIVE. *Circulation: Cardiovascular Genetics*, 1(1):31*38, October 2008; Ramachandran S. Vasan and Calum A. MacRae. A dream, a journey, and a promise: the inauguration of Circulation: Cardiovascular Genetics. *Circulation: Cardiovascular genetics*, 1(1):1*2, October 2008; Daphne, Maroeska M. Rovers, Diederick E. Grobbee, Joannes J. Marx, Jill Waalen, Christina Ellervik, Børge G. Nordestgaard, John K. Olynyk, Peter R. Mills, James Shepherd, Bernard Grandchamp, Jolanda M. Boer, Calogero Caruso, Marcello Arca, Beat J. Meyer, and Yvonne T. van der Schouw. Mutations in the HFE gene and cardiovascular disease risk: an individual patient data meta-analysis of 53 880 subjects. *Circulation: Cardiovascular genetics*, 1(1):43*50, October 2008).

Nárůst četnosti vědeckých prací v roce 2009, zabývajících se akutním infarktem myokardu, ukazuje nejen narůstající zájem o tuto problematiku, ale také závažnost studovaného tématu (Kahraman Tanrıverdi and Jane E. Freedman. Blood and Cardiovascular Disease. *Circulation: Cardiovascular Genetics*, 1(1):7*9, October 2008). Také další vědecké práce hledají v poslední době příčinné vztahy mezi projevy některých genů a vznikem akutního infarktu myokardu (AIM). To, že se jedná o komplexní proces, zahrnující celou řadu genů či pouze jejich částí (polymorfni místa), je všeobecně známo. Jsou popsány polymorfismy ve struktuře endoteliálního růstového faktoru, diskriminující pacienty s AIM, u nichž se vyvinulo srdeční selhání (Panagiotis Douvaras, Dionisis G. Antonatos, Kiriaki Kekou, Sotirios Patsilinakos, George Chouliaras, Apostolos Christou, Anastasios Andrikou, and Emmanuel Kanavakis. Association of VEGF gene polymorphisms with the development of heart failure in patients after myocardial infarction. *Cardiology*, 114(1):11*18, 2009).

Je popsán vliv akutní koronární okluze na uvolňování ateriálního natriuretického peptidu, který působí na vasodilataci, natriurézu a zánětlivou odpověď, čímž zvyšuje rozsah infarktu myokardu a mortalitu (Aiilyan K. Houng, Rachel A. McNamee, Attila Kerner, Pallavi Sharma, Almois Mohamad, Jonathan Tronolone, and Guy L. Reed. Atrial natriuretic peptide increases inflammation, infarct size, and mortality after experimental coronary occlusion. *American journal of physiology. Heart and circulatory physiology*, 296(3):H655*H661, March 2009). Popisována je rovněž exprese kininových a jiných receptorů (June Yun, Michael J. Zuscik, Pedro Gonzalez-Cabrera, Dan F. McCune, Sean A. Ross, Robert Gaivin, Michael T. Piascik, and Dianne M. Perez. Gene expression profiling of alpha(1b)-adrenergic receptor-induced cardiac hypertrophy by oligonucleotide arrays. *Cardiovascular research*,

¹²
57(2):443-455, February 2003), které podporují aktivaci cirkulujících mononukleáru u pacientů s akutním koronárním syndromem (AKS).

Změny nalézané v extracelulární matrix jsou určující pro myokardiální remodelaci po IM. Mohou být významným faktorem pro zánětlivou odpověď a mohou přispívat ke stabilizaci a kompenzatorním mechanismům pro udržení srdečního výdeje. Ovlivňují též angiogenezi, proliferaci a diferenciaci buněk (Fabio D'Aguiar D. Mataveli, Sang Won W. Han, Helena Bonciani B. Nader, Aline Mendes, Rose Kanishiro, Paulo Tucci, Antonio Carlos C. Lopes, Jose Carlos Costa C. Baptista-Silva, Ana Paula Cleto P. Marolla, Leonardo Pinto P. de Carvalho, Priscila Martins Andrade M. Denapoli, and Maria Aparecida da Silva A. Pinhal. Long-term effects for acute phase myocardial infarct VEGF165 gene transfer cardiac extracellular matrix remodeling. *Growth factors (Chur, Switzerland)*, 27(1):22-31, February 2009). Objevují se i studie zaměřené na hledání konkrétních polymorfismů ve struktuře DNA, které by mohly mít přímou souvislost s vývojem ischemické choroby srdeční (C. Federici, N. Botto, S. Manfredi, A. Rizza, M. Fiandra, and M. Andreassi. Relation of Increased Chromosomal Damage to Future Adverse Cardiac Events in Patients With Known Coronary Artery Disease. *The American Journal of Cardiology*, 102(10):1296-1300, November 2008).

Recentní molekulárně genetické (expresní) studie jsou prováděny např. na desítkách osob s chronickým srdečním selháním (Cappuzzello C., Napolitano M., Arcelli D., Melillo G., Melchionna R., DiVito L., Karlini D., Silvestri L., Brugaletta S., Liuzzo G., Crea F., Capogrosso M.C.: Gene expression profiles in peripheral blood mononuclear cells of chronic heart failure patients, *Physiol. Genomics*, 2009, 38:233-240), na pacientech s onemocněním koronárních artérií (Meier P., Antonov J., Zbinden R., Kun A., Zbinden S., Gloekler S., Delorenzi M., Maggi R., Seiler C.: Non-invasive gene-expression-based detection of well-developed collateral function in individuals with and without coronary artery disease, *Heart*, 2009, 95:900-908; Erdmann J., Grosshennig A., Braund P.S., et al.: New susceptibility locus for coronary artery disease on chromosome 3q22.3, *Nat. Genet.*, 2009, DOI:10.1038/ng.307; Tregouet D.A., Konig I.R., Erdmann J., et al.: Genome-wide haplotype association study identifies the SLC22A3-LPAL2-LPA gene cluster as a risk locus for coronary artery disease, *Nat Genet*, 2009, DOI:10.1038/ng.314) či na sekrečním materiálu osob s chronickou ischémii (Józefa Dabek, Aleksander Owczarek, Zbigniew Gasior, Rafal Ulczok, Mariusz Skowerski, Andrzej Kulach, Urszula Mazurek, and Andrzej Bochenek. Oligonucleotide microarray analysis of genes regulating apoptosis in chronically ischemic and postinfarction myocardium. *Biochemical genetics*, 46(5-6):241-247, June 2008).

Několik vědeckých týmů v čele s mezinárodním konsorcium pro genetiku infarktu myokardu (Myocardial Infarction Genetics Consortium, <http://www.nature.com/ng/>; David Seo, Geoffrey S. Ginsburg, and Pascal J. Goldschmidt-Clermont. Gene Expression Analysis of Cardiovascular Diseases: Novel Insights Into Biology and Clinical Applications. *J Am Coll Cardiol*, 48(2):227¹²⁷*235, July 2006; David Seo, Tao Wang, Holly Dressman, Edward E. Herderick, Edwin S. Iversen, Chunming Dong, Korkut Vata, Carmelo A. Milano, Fabio Rigat, Jennifer Pittman, Joseph R. Nevins, Mike West, and Pascal J. Goldschmidt-Clermont. Gene Expression Phenotypes of Atherosclerosis. *Arterioscler Thromb Vasc Biol*, 24(10):1922¹²⁸*1927, October 2004) se zabývá genetickými asociačními studiemi ve vztahu k infarktu myokardu (Iris M. Heid, Eva Boes, Martina Müller, Barbara Kollerits, Claudia Lamina, Stefan Coassini, Christian Gieger, Angela Döring, Norman Klopp, Ruth Frikke-Schmidt, Anne Tybjærg-Hansen, Anita Brandstätter, Andreas Luchner, Thomas Meitinger, Wichmann, and Florian Kronenberg. Genome-Wide Association Analysis of High-Density Lipoprotein Cholesterol in the Population-Based KORA Study Sheds New Light on Intergenic Regions / CLINICAL PERSPECTIVE. *Circulation: Cardiovascular Genetics*, 1(1):10¹²⁹*20, October 2008; Gudbjartsson D.F., Bjornsdottir U.S., Halapi E., et al.: Sequence variants affecting eosinophil numbers associate with asthma and myocardial infarction, *Nat. Genet.*, 2009, DOI: 10.1038/ng.323; Ozaki K., Sato H., Inoue K., et al.: SNPs in BRAP associated with risk of myocardial infarction in Asian population, *Nat. Genet.*, 2009, DOI:10.1038/ng.326).

Snaha včas predikovat nastupující příznaky infarktu myokardu (postupně nastupující stres vyvíjející se až do šoku) je dnes řešena klinickou diferenciální diagnostikou, funkčními testy, resp. statimovým měřením základních biochemických markerů pro AIM. Toto užívané schéma diagnostiky je používáno (u pacienta při první události) bez jakékoli možnosti monitorovat (predikovat) celkový stav organismu v období před AIM. Přesnějším charakterizováním základního expresního profilu pacienta přežívajícího i nepřežívajícího akutní stadium infarktu myokardu a jeho porovnáním s vybranými osobami kontrolního souboru české populace, se otevírá do budoucna reálná možnost průběžného, ekonomicky dostupného sledování osob přežívajících infarkt myokardu (období do 3¹²⁷6 měsíců po první a další události).

Pokusy o expresní analýzu a průběžné monitorování nejrůznějších, především ale nádorových, onemocnění člověka byly již učiněny. Jsou dnes připravovány nejrůznější selektivní expresní sady genů, které charakterizují nejen aktuální stav organismu, ale také mohou monitorovat úspěšnost a adekvátnost léčby (David T. Miller, Paul M. Ridker, Peter

Libby, and David J. Kwiatkowski. Atherosclerosis: The Path From Genomics to Therapeutics. *J Am Coll Cardiol*, 49(15):1589–1599, April 2007). Tyto snahy jsou zřejmě v posledních letech i v oblasti diagnostiky některých kardiovaskulárních poruch člověka (P. Meier, J. Antonov, R. Zbinden, A. Kuhn, S. Zbinden, S. Gloekler, M. Delorenzi, R. Jaggi, and C. Seiler. Non-invasive gene-expression-based detection of well-developed collateral function in individuals with and without coronary artery disease. *Heart*, 95(11):900–908, June 2009; Józefa Dabek, Aleksander Owczarek, Zbigniew Gasior, Rafal Ulczok, Mariusz Skowerski, Andrzej Kulach, Urszula Mazurek, and Andrzej Bochenek. Oligonucleotide microarray analysis of genes regulating apoptosis in chronically ischemic and postinfarction myocardium. *Biochemical genetics*, 46(5-6):241–247, June 2008; Claudia Cappuzzello, Monica Napolitano, Diego Arcelli, Guido Melillo, Roberta Melchionna, Luca Di Vito, Daniele Carlini, Lorena Silvestri, Salvatore Brugaletta, Giovanna Liuzzo, Filippo Crea, and Maurizio C. Capogrossi. Gene expression profiles in peripheral blood mononuclear cells of chronic heart failure patients. *Physiological genomics*, 38(3):233–240, August 2009), dosud však není známa studie snažící se predikovat prognózu pacienta s AIM.

V posledních letech celosvětově vzrůstající prevalence kardiovaskulárních chorob člověka motivuje stále intenzivněji vědeckou veřejnost k hledání nových strategií diagnostiky a léčby (James A. Wingrove, Susan E. Daniels, Amy J. Sehnert, Whittemore Tingley, Michael R. Elashoff, Steven Rosenberg, Lutz Buellesfeld, Eberhard Grube, L. Kristin Newby, Geoffrey S. Ginsburg, and William E. Kraus. Correlation of Peripheral-Blood Gene Expression With the Extent of Coronary Artery Stenosis / CLINICAL PERSPECTIVE. *Circulation: Cardiovascular Genetics*, 1(1):31–38, October 2008; Peter R. Sinnaeve, Mark P. Donahue, Peter Grass, David Seo, Jacky Vonderscher, Salah-Dine D. Chibout, William E. Kraus, Michael Sketch, Charlotte Nelson, Geoffrey S. Ginsburg, Pascal J. Goldschmidt-Clermont, and Christopher B. Granger. Gene expression patterns in peripheral blood correlate with the extent of coronary artery disease. *PLoS one*, 4(9), 2009; Ruby C. Y. Lin, Kate L. Weeks, Xiao-Ming Gao, Rohan B. H. Williams, Bianca C. Bernardo, Helen Kiriazis, Vance B. Matthews, Elizabeth A. Woodcock, Russell D. Bouwman, Janelle P. Mollica, Helen J. Speirs, Ian W. Dawes, Roger J. Daly, Tetsuo Shioi, Seigo Izumo, Mark A. Febbraio, Xiao-Jun Du, and Julie R. McMullen. Pi3k(p110alpha) protects against myocardial infarction-induced heart failure: Identification of pi3k-regulated mirna and mrna. *Arterioscler Thromb Vasc Biol*, 30(4):724–732, April 2010; Orfeas Liangos, Sophie Domhan, Christian Schwager, Martin Zeier, Peter E. Huber, Francesco Addabbo, Michael S. Goligorsky, Lynn Hlatky,

Bertrand L. Jaber, and Amir Abdollahi. Whole blood transcriptomics in cardiac surgery identifies a gene regulatory network connecting ischemia reperfusion with systemic inflammation. *PloS one*, 5(10), 2010) a využívání nových technologií, jakými jsou na příklad meta-analýzy velkých souborů studovaných osob či tzv. GWAS (Genome-wide association studies) studií (John P. A. Ioannidis. Prediction of Cardiovascular Disease Outcomes and Established Cardiovascular Risk Factors by Genome-Wide Association Markers / CLINICAL PERSPECTIVE. *Circulation: Cardiovascular Genetics*, 2(1):7–15, February 2009; Jeanette Erdmann, Patrick Linsel-Nitschke, and Heribert Schunkert. Genetic causes of myocardial infarction: new insights from genome-wide association studies. *Deutsches Ärzteblatt international*, 107(40):694–699, October 2010).

Výsledky rozsáhlé GWAS studie (Myocardial Infarction Genetics Consortium, Sekar Kathiresan, Benjamin F. Voight, Shaun Purcell, Kiran Musunuru *et al.* Genome-wide association of early-onset myocardial infarction with single nucleotide polymorphisms and copy number variants. *Nature genetics*, 41(3):334–341, March 2009) potvrdily asociaci několika genů s ranným výskytem akutního infarktu myokardu, z nichž některé byly též potvrzeny analýzami našich dat. Jedná se především o gen PHACTR1 (fosfatáza a regulátor aktinu 1), který se ve srovnání s obecnou českou populací ukazuje na základě našich dat jako prediktivní u pacientů, kteří z kardiovaskulárních příčin zemřeli v průběhu 6-měsíčního sledování po primární srdeční příhodě, dále též gen MRPS6 (mitochondriální ribozomální protein), jehož varianty MRPL9, MRPL39, MRPL48, MRPS33 a MRPS30 byly statisticky významné také v našich datech, nikoliv však klinicky a neprosadily se do množin genů s prediktivními vlastnostmi. Nejsou proto uváděny v našich konečných výsledcích. Varianty WDR57, WDR61 a WDR75 genu WDR12 identifikovaného v této publikaci byly podobně statisticky, nikoliv však klinicky významné v našich datech. Naopak geny CDKN2A, CDKN2B identifikované v souvislosti s incidencí akutního infarktu myokardu ve výše zmíněné publikaci a dále např. v publikaci autorů Anna Helgadottir, Gudmar Thorleifsson, Andrei Manolescu, Solveig Gretarsdottir, Thorarinn Blondał, Aslaug Jonasdottir, Adalbjorg Jonasdottir, Asgeir Sigurdsson, Adam Baker, Arnar Palsson, Gisli Masson, Daniel F. Gudbjartsson, Kristinn P. Magnusson, Karl Andersen, Allan I. Levey, Valgerdur M. Backman, Sigurborg Matthiasdottir, Thorbjorg Jonsdottir, Stefan Palsson, Helga Einarsdottir, Steinunn Gunnarsdottir, Arnaldur Gylfason, Viola Vaccarino, W. Craig Hooper, Muredach P. Reilly, Christopher B. Granger, Harland Austin, Daniel J. Rader, Svatı H. Shah, Arshed A. Quyyumi, Jeffrey R. Gulcher, Gudmundur Thorgeirsson, Unnur Thorsteinsdottir, Augustine

Kong, and Kari Stefansson. A common variant on chromosome 9p21 affects the risk of myocardial infarction. *Science (New York, N.Y.)*, 316(5830):1491–1493, June 2007, nebyly v našich datech v souvislosti s výskytem akutního infarktu myokardu zjištěny.

Recentní publikace z roku 2010 naznačují stoupající zájem o aplikaci moderních metod pro studium kardiovaskulárního systému člověka, mezi něž se zařazuje i technologie celogenomové expresní analýzy. Tato technologie umožňuje získávat informace o okamžité odpovědi organismu na akutní stádia závažných, život ohrožujících, onemocnění, jakými jsou např. mrtvice či infarkt myokardu. Dovoluje nám současně i nový pohled na desetiletí známý proces. Využitím mononukleárních buněk periferní krve jako zkoumaného materiálu se naskytá reálná možnost získat expresní profily ze snadno a rutinně dostupného biologického materiálu a z těchto profilů poté vytipovat ty signifikantní hladiny genové exprese, které by mohly charakterizovat určitá stádia onemocnění. Takto získaná data se dají v budoucnu použít jako základ pro zlepšení diagnostického komfortu pacienta. Ze studií publikovaných na konci roku 2009 a v průběhu roku 2010 lze zmínit práce, zabývající se úlohou hladin HDL a LDL frakcí cholesterolu či celkového cholesterolu ve vztahu ke genetické predispozici kardiovaskulárních chorob (Anna C. Calkin and Peter Tontonoz. Genome-Wide Association Studies Identify New Targets in Cardiovascular Disease. *Science Translational Medicine*, 2(48):48–94, 2010; Rong Yang, Lin Li, Sara Bretschger B. Seidelmann, Gong-Qing Q. Shen, Sonia Sharma, Shaoqi Rao, Kalil G. Abdullah, Kenneth G. Mackinlay, Robert C. Elston, Qiuyun Chen, Eric J. Topol, and Qing Kenneth K. Wang. A genome-wide linkage scan identifies multiple quantitative trait loci for HDL-cholesterol levels in families with premature CAD and MI. *Journal of lipid research*, 51(6):1442–1451, June 2010), nebo práce snažící se predikovat významné geny exprimující se v aktuálním stádiu mrtvice (Boryana Stamova, Huichun Xu, Glen Jickling, Cheryl Bushnell, Yingfang Tian, Bradley P. Ander, Xinhua Zhan, DaZhi Liu, Renee Turner, Peter Adamczyk, Jane C. Khoury, Arthur Pincioli, Edward Jauch, Joseph P. Broderick, and Frank R. Sharp. Gene Expression Profiling of Blood for the Prediction of Ischemic Stroke. *Stroke*, 41(10):2171–2177, October 2010).

Několik prací se v roce 2010 zabývalo hledáním genetických příčin či nejrůznějších nových biomarkerů ventrikulární fibrilace, která bývá pozorována v aktuálním stádiu infarktu myokardu a může mít vliv na přežití pacienta (Connie R. Bezzina, Raha Pazoki, Abdennasser Bardai, Roos F. Marsman, Jonas S. de Jong, Marieke T. Blom, Brendon P. Scicluna, J. Wouter Jukema, Navin R. Bindraban, Peter Lichtner, Arne Pfeuffer, Nanette H. Bishopric, Dan M. Roden, Thomas Meitinger, Sumeet S. Chugh, Robert J. Myerburg, Xavier Jouven,

Stefan Kääb, Lukas R. Dekker, Hanno L. Tan, Michael W. Tanck, and Arthur A. Wilde. Genome-wide association study identifies a susceptibility locus at 21q21 for ventricular fibrillation in acute myocardial infarction. *Nature genetics*, 42(8):688–691, August 2010; Feng Dong, Mazen Khalil, Matt Kiedrowski, Caitlin O’Connor, Erin Petrovic, Xiaorong Zhou, and Marc S. Penn. Critical role for leukocyte hypoxia inducible factor-1alpha expression in post-myocardial infarction left ventricular remodeling. *Circulation research*, 106(3):601–610, February 2010; Yvan Devaux, Francisco Azuaje, Mélanie Vausort, Céline Yvorra, and Daniel R. Wagner. Integrated protein network and microarray analysis to identify potential biomarkers after myocardial infarction. *Functional & integrative genomics*, 10(3):329–337, August 2010).

Do popředí zájmu se v posledním roce dostává i otázka, zda celkový stres organismu při akutní fázi infarktu myokardu nezhorsuje vlastní prognózu přežití (Jessica M. Berthiaume, Molly S. Bray, Tracy A. McElfresh, Xiaoqin Chen, Salman Azam, Martin E. Young, Brian D. Hoit, and Margaret P. Chandler. The myocardial contractile response to physiological stress improves with high saturated fat feeding in heart failure. *American journal of physiology. Heart and circulatory physiology*, 299(2), August 2010). Jsou hledány souvislosti mezi genetickými příčinami infarktu myokardu a chronickým onemocněním ledvin (Tetsuo Fujimaki, Kimihiko Kato, Kiyoshi Yokoi, Mitsutoshi Oguri, Tetsuro Yoshida, Sachiro Watanabe, Norifumi Metoki, Hidemi Yoshida, Kei Satoh, Yukitoshi Aoyagi, Yoshinori Nozawa, Genjiro Kimura, and Yoshiji Yamada. Association of genetic variants in SEMA3F, CLEC16A, LAMA3, and PCSK2 with myocardial infarction in Japanese individuals. *Atherosclerosis*, 210(2):468–473, June 2010) či aterotrombózou (Luca Andrea A. Lotta. Genome-wide association studies in atherothrombosis. *European journal of internal medicine*, 21(2):74–78, April 2010).

Studován byl rovněž vliv microRNA-molekul, které jsou popisovány jako negativní regulátory genové exprese a recentní studie naznačují, že mohou hrát významnou roli nejen v rozvoji infarktu myokardu, ale i u dalších kardiovaskulárních poruch člověka (Emanuela Bostjancic, Nina Zidar, and Damjan Glavac. MicroRNA microarray expression profiling in human myocardial infarction. *Disease markers*, 27(6):255–268, 2009). Stále je diskutována biologická role interleukinu 1 ve vztahu k dyslipidémii a riziku vzniku infarktu myokardu (Bernard Keavney. The interleukin-1 cluster, dyslipidaemia and risk of myocardial infarction. *BMC medicine*, 8(1):6+, January 2010).

Populačně charakteristický obraz rizikových genetických markerů je diskutován v řadě recentních publikací (Paul M. Ridker, Guillaume Paré, Alex N. Parker, Robert Y. Zee, Joseph P. Miletich, and Daniel I. Chasman. Polymorphism in the CETP gene region, HDL cholesterol, and risk of future myocardial infarction: Genomewide analysis among 18 245 initially healthy women from the Women's Genome Health Study. *Circulation. Cardiovascular genetics*, 2(1):26–33, February 2009; Tetsuo Fujimaki *et al.* Association of genetic variants in SEMA3F, CLEC16A, LAMA3, and PCSK2 with myocardial infarction in Japanese individuals. *Atherosclerosis*, 210(2):468–473, June 2010). Jsou studovány i další typy genetických variací (SNP-single nucleotide polymorphisms a CNV-copy number variations) ve vztahu ke vzniku a rozvoji infarktu myokardu (Myocardial Infarction Genetics Consortium, Sekar Kathiresan, Benjamin F. Voight, Shaun Purcell, Kiran Musunuru *et al.* Genome-wide association of early-onset myocardial infarction with single nucleotide polymorphisms and copy number variants. *Nature genetics*, 41(3):334–341, March 2009).

V neposlední řadě je nutno zmínit také práce zabývající se infarktem myokardu na experimentálním zvířeti (Jessica M. Berthiaume *et al.* The myocardial contractile response to physiological stress improves with high saturated fat feeding in heart failure. *American journal of physiology. Heart and circulatory physiology*, 299(2), August 2010; Dongsheng zHong, Xiaowei Zeng, Wei Xu, Jing Ma, Yinghui Tong, and Yan Chen. Altered profiles of gene expression in curcumin-treated rats with experimentally induced myocardial infarction. *Pharmacological Research*, 61(2):142–148, February 2010; Zongjin Li, Kitchener D. Wilson, Bryan Smith, Daniel L. Kraft, Fangjun Jia, Mei Huang, Xiaoyan Xie, Robert C. Robbins, Sanjiv S. Gambhir, Irving L. Weissman, and Joseph C. Wu. Functional and transcriptional characterization of human embryonic stem cell-derived endothelial cells for treatment of myocardial infarction. *PloS one*, 4(12):e8443+, December 2009; Lisheng Zhang, Jessica J. Connelly, Karsten Peppel, Leigh Brian, Svti H. Shah, Sarah Nelson, David R. Crosslin, Tianyuan Wang, Andrew Allen, William E. Kraus, Simon G. Gregory, Elizabeth R. Hauser, and Neil J. Freedman. Aging-related atherosclerosis is exacerbated by arterial expression of tumor necrosis factor receptor-1: evidence from mouse models and human association studies. *Human Molecular Genetics*, 19(14):2754–2766, July 2010; Lars Bochmann, Padmini Sarathchandra, Federica Mori, Enrique Lara-Pezzi, Domenico Lazzaro, and Nadia Rosenthal. Revealing new mouse epicardial cell markers through transcriptomics. *PloS one*, 5(6), 2010).

Přihláška vynálezu PV 2009-872 navrhuje stanovení prognózy pacientů v akutním stadiu primárního infarktu myokardu stanovením exprese alespoň jednoho genu či genetického

lokusu vybraného ze skupiny zahrnující TCRA, LOC650751, LOC650761, PRR6 a TMEM98 ve vzorku periferní krve.

Níže popsaný vynález poskytuje sadu genů, která umožňuje stanovení prognózy s vyšší přesností a lepší klinickou shodou.

Podstata vynálezu

Předmětem předkládaného vynálezu je způsob identifikace osob v české populaci se zvýšeným genetickým rizikem výskytu akutního infarktu myokardu, a popřípadě s nízkým rizikem následného úmrtí v důsledku kardiovaskulárních komplikací do 6 měsíců od okamžiku výskytu akutního infarktu myokardu.

Podstata vynálezu spočívá v tom, že se v biologickém vzorku odebraném z těla pacienta stanoví intenzita exprese sady genů a genetických lokusů:

Název / Lokus genu	RefSeq_ID	SEQ ID No.	Referenční hodnota intenzity exprese (nízké riziko výskytu AIM) stanovená na celogenomovém / oligonukleotidovém čipu	Min. odchylka od ref. hodnoty exprese, značící zvýšené riziko
OLIG2	NM_005806.2	1	6,88	-0,891
VNN3	NM_001024460.1	2	9,69	0,498
MS4A3	NM_006138.4	3	8,17	-0,635
CEBPE	NM_001805.2	4	7,13	-0,447
FOS	NM_005252.2	5	10,04	0,388
LIPA	NM_000235.2	6	10,35	-0,373
LOC645649	XM_928663.1	7	7,85	0,286
(M97723)	M97723	8	6,92	0,382
EPAS1	NM_001430.3	9	6,75	-0,314
CLINT1	NM_014666.2	10	9,52	-0,246
MYCT1	NM_025107.1	11	5,43	-0,150
VPS29	NM_016226.2	12	10,64	-0,145
LOC130951	NM_138804.2	13	5,20	-0,125

Postup stanovení míry genetického rizika spočívá v tom, že se změří intenzita genové exprese v biologickém vzorku a její logaritmovaná hodnota při základu 2 se srovná s referenční hodnotou intenzity exprese uvedenou pro jednotlivé geny a genetické lokusy. V posledním sloupci tabulky je pro každý gen/lokus uvedena minimální odchylka od referenční hodnoty

exprese, značící zvýšené riziko. Je třeba mít na paměti, že vypovídací hodnotu má sada jako celek, nikoliv jednotlivé geny/lokusy, a tedy pro naplnění kritéria zvýšeného genetického rizika je nutné, aby se u sledovaného pacienta hodnoty genové exprese lišily od hodnot referenčních alespoň o požadovanou hodnotu u všech genů/lokusů v sadě.

Biologickým vzorkem odebraným z těla pacienta mohou být například buňky periferní krve, které jsou výhodné především pro minimální invazivitu získání potřebného materiálu.

V případě všech zde uváděných genů a genetických lokusů jsou míněny geny a genetické lokusy hybridizující s odpovídajícími sondami na celogenomových čipech Illumina. Sekvence DNA kódující mRNA uváděné v předkládané přihlášce jsou uváděny podle dostupných katalogů pouze pro informaci.

Exprese genů a genetických lokusů může být stanovena jakýmkoliv způsobem známým odborníkovi v daném oboru, například na celogenomovém nebo oligonukleotidovém čipu (čipová microarray analýza, např. i tiling čipy), RT-PCR a qPCR, Northern blot, RNA-Seq (RNA sekvenční zpracování, Whole Transcriptome Shotgun Sequencing), SAGE (mnohonásobná analýza genové exprese, serial analysis of gene expression), FISH (fluorescenční in-situ hybridizace), využitím reportérových genů, analýzou ribonukleasové ochrany (Ribonuclease Protection Assay) či na úrovni exprese translatovaných proteinů metodou western blot, ELISA (enzymová imunoanalýza, enzyme-linked immunosorbent assay), využitím GFP (zelený fluorescenční protein, green fluorescent protein), průtokovou cytometrií či imunohistologicky.

Předmětem předkládaného vynálezu je dále oligonukleotidový čip pro identifikaci osob se zvýšeným genetickým rizikem výskytu infarktu myokardu, obsahující právě sondy hybridizující s DNA či RNA uvedené sady genů či genetických lokusů. Oligonukleotidový čip může být připraven např. spotováním či jakýmkoliv jiným způsobem známým odborníkovi v daném oboru.

Předkládaný vynález přináší možnost identifikovat v české populaci jedince, kteří mají zvýšené genetické riziko výskytu akutního infarktu myokardu, což umožní zacílit prevenční a sledovací programy na jedince, kterým to přinese největší benefit, a možnost identifikovat

jedince s nízkým rizikem úmrtí v důsledku kardiovaskulárních komplikací v krátkodobém horizontu po výskytu akutního infarktu myokardu umožní efektivní využití lůžkových kapacit.

Vynález je dále osvětlen na následujících příkladech provedení, aniž je jimi jeho rozsah jakkoliv omezen.

obrázků na výkresech
Přehled vyobrazení

Obr. 1 ukazuje teplotní mapu genů identifikovaných v rámci experimentu genové exprese pro kontrast AIM vs Kontroly.

Obr. 2 ukazuje kvantilovou diagnostiku lineárního modelu pro logaritmovaná data intenzit genové exprese při základu 2 (Q-Q grafy) a dále vulkánové grafy, které charakterizují data na základě logaritmu podílu intenzit genové exprese ve studované a srovnávací populaci (viz daný kontrast) a na základě logaritmu šance na diferenciální expresi pro daný gen či transkript. Dává komplexní představu o povaze diferenciální exprese pro daný kontrast.

Seznam sekvencí

SEQ ID No. 1: sekvence DNA kódující mRNA genu OLIG2

SEQ ID No. 2: sekvence DNA kódující mRNA genu VNN3

SEQ ID No. 3: sekvence DNA kódující mRNA genu MS4A3

SEQ ID No. 4: sekvence DNA kódující mRNA genu CEBPE

SEQ ID No. 5: sekvence DNA kódující mRNA genu FOS

SEQ ID No. 6: sekvence DNA kódující mRNA genu LIPA

SEQ ID No. 7: sekvence DNA kódující mRNA genového lokusu LOC645649

SEQ ID No. 8: sekvence DNA odpovídající RefSeq_ID M97723

SEQ ID No. 9: sekvence DNA kódující mRNA genu EPAS1

SEQ ID No. 10: sekvence DNA kódující mRNA genu CLINT1

SEQ ID No. 11: sekvence DNA kódující mRNA genu MYCT1

SEQ ID No. 12: sekvence DNA kódující mRNA genu VPS29

SEQ ID No. 13: sekvence DNA kódující mRNA genového lokusu LOC130951

Příklady provedení vynálezu

Příklad 1: Čipová analýza buněk periferní krve pacientů smíchané s RNA later na lidském celogenomovém čipu Human WG6-v2 Expression BeadChip firmy Illumina

Pozn. Kurzivou jsou označeny přesné obchodní názvy produktů či specifické komponenty produktů, které nemají odpovídající jednoznačné české ekvivalenty.

Sběr vzorků plné krve do *RNAlater®* (kat. č. AM7024, Ambion, Applied Biosystems) byl prováděn tak, že vzorek nesrážlivé plné krve (2,4 ml) byl nejpozději do 15 min od odběru smíchán s *RNAlater® Tissue Collection: RNA Stabilization Solution* (7,6 ml). Vzorek byl řádně promíchán a poté přesunut do mrazícího boxu -70 °C k dlouhodobému skladování.

Izolace RNA pomocí kitu *Ribopure™ – Blood*, Ambion Inc. (kat. č. AM1928, Ambion, Applied Biosystems) byla prováděna tak, že vzorky byly vyndány z mrazícího boxu a ponechány na ledu rozmrazit. Snažili jsme se vždy šestice vzorků jdoucí na jeden čip připravovat najednou. Pro izolaci RNA bylo pipetováno 1,8 ml vzorku krve s *RNAlater®* do 2 ml zkumavky bez RNase. Vzorek krve v roztoku *RNAlater®* byl centrifugován na 16 100 g (13 200 rpm) 1 min. Supernatant byl odstraněn včetně bílé fáze těsně nad peletem. Buňky byly lyzovány v 800 µl lyzačního roztoku a 50 µl roztoku acetátu sodného. Směs byla řádně promíchána na vortexu. Lyzát buněk byl extrahován s 500 µl kyselého fenol:chloroformu. Směs byla promíchána 30 s na vortexu a ponechána stát 5 min při laboratorní teplotě. Směs byla centrifugována na 16 100 g 1 min. Celá vodná fáze, které bylo kolem 1,2 ml, byla přenesena do nové 2 ml zkumavky bez RNase, znova centrifugována a vodná fáze bez jakékoli pelety odebrána do čisté zkumavky bez RNase. Bylo přidáno 600 µl 100% etanolu a promícháno na vortexu.

700 µl vzorku bylo přeneseno na dodanou kolonku umístěnou v kolekční zkumavce a 5^{12'} s centrifugováno na 16 100 g. Kolekční zkumavky byly vyprázdněny a znova do nich byly nasazeny kolonky. Do kolonek bylo naneseno dalších 700 µl a poté zbytek vzorku a vždy 5^{12'} 10 s centrifugováno na 16 100 g. Na filtry kolonek bylo naneseno 700 µl promývacího roztoku 1 a 5^{12'} 10 s centrifugováno na 16 100 g. Kolekční zkumavky byly vyprázdněny a znova do nich byly vsazeny kolonky. Do kolonek bylo 2x naneseno 700 µl promývacího roztoku 2/3 (láhev musí být doplněna o 56 ml 100% etanolu) a 5^{12'} 10 s centrifugováno na 16 100 g. Kolekční zkumavky byly vyprázdněny a znova do nich byly vsazeny kolonky, centrifugovány, aby byla odstraněna veškerá kapalina. Kolonky byly přeneseny na označenou

kolekční zkumavku a naneseno 50 µl elučního roztoku (předehřátého na 75°C). 20 s ponecháno stát při laboratorní teplotě a 20–30 s centrifugováno na maximum. Při druhé eluci dalšími 50 µl elučního roztoku centrifugováno 1 min.

K RNA ve 100 µl elučního pufru bylo přidáno 5 µl DNase pufru a 1 µl DNase I a ponecháno 30 min inkubovat při 37°C. K RNA po odstranění DNA bylo přidáno 20 µl DNase inaktivaci reagencie. Směs byla jemně promíchána na vortexu a ponechána 2 min stát při laboratorní teplotě. Během této doby ještě byla směs dvakrát promíchána.

Vzorek byl centrifugován 1 min na 16 100 g. V peletě byla DNase inaktivaci reagencie. Roztok RNA byl přenesen do nové zkumavky bez RNase.

Byla změřena koncentrace RNA na Nanodropu, Thermo Scientific (1 µl), případně ponechán alikvot pro analýzu na Bioanalyzeru 2100, Agilent Technologies.

Po provedení čipové analýzy s takto ošetřenými vzorky RNA bylo zjištěno, že díky použití plné krve dochází k preferenční amplifikaci globinových RNA a nedostatečné intenzitě signálu ostatních genů. Proto byly vzorky RNA přečištěny pomocí *GLOBINclear™* Kitu firmy Ambion (kat. č. AM1980, Applied Biosystems):

K cca 110 µl vzorku RNA isolované pomocí *Ribopure™ Blood Kit*, Ambion z plné krve s *RNAlater®* bylo přidáno 11 µl octanu sodného (*Ribopure™*), případně 0,35 µl *GlycoBlue* (AM9515, Ambion, Applied Biosystems) a 300 µl 100% ethanolu, vše bylo řádně promícháno. Vzorky byly uskladněny na 1 hød v mrazicím boxu při teplotě -20°C. Pak byly centrifugovány při 16 100 g 30 min, 4°C, a supernatant byl opatrně odstraněn. Bylo přidáno 0,7 ml ledového 70% ethanolu, vzorek vortexován, centrifugován 10 min při 4°C a supernatant opatrně odstraněn. Peleta byla rozpuštěna ve 14 µl vody bez nukleas (v 15 µl pokud chceme v tomto kroku měřit koncentraci na Nanodropu).

V průběhu točení byly připraveny potřebné roztoky:

RNA vazebný pufr: Byly přidány 2 ml 100% isopropanolu do koncentrátu vazebného pufru, promícháno a skladováno při laboratorní teplotě.

RNA promývací roztok: Byly přidány 4 ml 100% etanolu do koncentrátu promývacího roztoku, promícháno a skladováno při laboratorní teplotě.

Kuličky resuspendující směs (1 reakce / 6 reakcí): 10 µl / 60 µl RNA vazebné kuličky, 4 µl / 24 µl pufru pro RNA kuličky, 6 µl / 36 µl 100% isopropanolu. Směs byla homogenizována a skladována při laboratorní teplotě.

Streptavidinové magnetické kuličky (30 µl / vzorek): do inkubátoru (50°C) byly vloženy zkumavky s 2x hybridizačním puferem a puferem pro streptavidinové kuličky minimálně na

15 min, před použitím řádně vortexovány. 6x 30 µl (180 µl) homogenizovaných streptavidinových magnetických kuliček bylo pipetováno do čisté 1,5 ml zkumavky, centrifugováno cca 2 s na méně než 1000 g a zkumavka byla umístěna do magnetického stojánku na dobu 3¹² minut (dokud není roztok průsvitný). Supernatant byl opatrně odstraněn a přidáno 6 x 30 µl (180 µl) pufru pro streptavidinové kuličky předeuhřátého na 50°C, řádně vortexováno a ponecháno inkubovat po dobu nejméně 15 min při 50 °C před dalším použitím. Ke vzorkům RNA ve 14 µl (1*10 µg) byl přidán 1 µl *Capture Oligo Mix*. Ke směsi bylo přidáno 15 µl 2x hybridizačního pufru předeuhřátého na 50°C. Vzorky byly krátce vortexovány a rychle centrifugovány při max. 1000 g a ponechány inkubovat při 50°C po dobu 15 minut (dojde k hybridizaci s globinovou mRNA).

Připravené streptavidinové magnetické kuličky umístěné v inkubátoru byly jemně vortexovány a centrifugovány méně než 2 s na max. 1000 g. Ke každému vzorku RNA bylo přidáno 30 µl připravených streptavidinových magnetických kuliček, směsi řádně promíchány vortexováním, stočeny cca 2 s na 1000 g a ponechány inkubovat 30 min při teplotě 50°C. Po vyjmutí z inkubátoru jemně vortexovány, centrifugovány cca 2 s na max. 1000 g a zkumavky umístěny do magnetického stojánku na 3¹² min (dokud není roztok průsvitný). Supernatanty obsahující celkovou RNA bez globinové mRNA opatrně odstraněny a přeneseny do čistých 1,5 ml zkumavek.

Byl předeuhřát eluční pufr na 58°C. Ke každému RNA vzorku bylo přidáno 100 µl RNA vazebného pufru. Kuličky resuspendující směs řádně homogenizována vortexováním a následně přidáno 20 µl směsi ke každému vzorku. Směs 10 s řádně vortexována, aby došlo k navázání RNA na kuličky, centrifugována cca 2 s na 1000 g. Zkumavky byly umístěny do magnetického stojánku na 3¹² minut (dokud není roztok průsvitný). Opatrně byly odstraněny veškeré supernatanty. Zkumavky byly vyjmuty z magnetického stojánku. Až poté bylo ke každému vzorku přidáno 200 µl RNA promývacího roztoku, řádně 10 s vortexováno, krátce a jemně stočeno (viz výše). Zkumavky se vzorky umístěny do magnetického stojánku na 3¹² minut než došlo k usazení magnetických kuliček s navázanou RNA, opatrně byl odstraněn veškerý supernatant a zkumavky vyjmuty ze stojánku. Zkumavky krátce a jemně stočeny, umístěny zpět do magnetického stojánku a malou špičkou byla odstraněna veškerá kapalina. Zkumavky se vzorky vyndány z magnetického stojánku a otevřené nechány 5 min na vzduchu oschnout. Ke každému vzorku přidáno 30 µl elučního pufru předeuhřátého na 58°C, řádně 10 s vortexováno a směs inkubována 5 min při 58°C. Řádně 10 s vortexováno a krátce a jemně centrifugováno (cca 2 s na 1000 g). Vzorky byly umístěny do magnetického stojánku na 3 až

5 minut než došlo k usazení magnetických kuliček. Supernatant obsahující přečištěnou celkovou RNA byl opatrně odebrán do čistých 1,5 ml zkumavek.

Kritickým parametrem se stal poměr absorbancí u 260 nm ku 230 nm, který má být pro čipovou analýzu vyšší než 1,5. Pro zajištění dostatečné kvality musela být prováděna finální etanolová precipitace. K cca 30 µl vzorku RNA isolované pomocí *RiboPure™ Blood Kit*, Ambion z plné krve s *RNAlater®* přečištěné kitem *GLOBINclear™ Whole Blood Kit* byly přidány 3 µl octanu sodného (*RiboPure™*) a 85 µl 100% etanolu. Rádně promícháno a vzorky uskladněny přes noc v mrazicím boxu při teplotě -20°C. Ráno centrifugováno při 16 100 g 30 min, 4°C, supernatant opatrně odstraněn, peleta promyta 0,7 ml vychlazeného 70% etanolu, vzorek vortexován, centrifugován 15 min při 4°C a poté veškerý supernatant opatrně odstraněn. Pelety rozpuštěny ve 14 µl vody bez nukleas či dle velikosti pelety a vstupní koncentrace ve větším objemu. Byla změřena koncentrace přečištěné a přesrážené RNA na Nanodropu (1 µl), integrita stanovena pomocí Bioanalyzeru 2100, Agilent Technologies (1 µl) - *Agilent RNA 6000 Nano/Pico Kit* (kat. č. 5067-1511/5067-1513).

Pokud to bylo z hlediska výchozího materiálu možné, aby kvantitativní i kvalitativní parametry byly v pořádku (RIN > 7; A_{260/280nm} > 1,8; A_{260/230nm} > 1,5), byla připravená RNA dále amplifikována pomocí *Illumina® TotalPrep RNA Amplification Kit*, Ambion (kat. č. IL1791). Systém biotinem označí amplifikovanou RNA k hybridizaci na čipech. Protokol se skládá z reversní transkripce s využitím oligo(dT) primeru pro syntézu cDNA obsahující T7 promotorovou sekvenci. K získané cDNA je syntetizován druhý řetězec při využití DNA polymerasy a RNasy H. Přečištěný cDNA produkt vstupuje do in-vitro transkripce s T7 RNA polymerasou. Výsledná cRNA je následně přečištěna od neinkorporovaných nukleotidů, solí, enzymů a anorganického fosfátu. Vstupní množství RNA, které jsme využívali pro amplifikaci, bylo 150 ng v maximálně 11 µl. Pro jednotlivé kroky byl využit *DNA Engine Dyad Peltier Thermal Cycler*, Bio-Rad Laboratories.

RNA vzorky o objemu 11 µl (150 ng RNA) byly umístěny do sterilních 0,2 ml zkumavek bez RNas. Případně byly do daného objemu naředěny vodou bez nukleas. Při laboratorní teplotě byl připraven master mix pro reversní transkripci - syntézu jednořetězcové DNA:

- 1 µl T7 oligo(dT) primer
- 2 µl 10x pufr pro první řetězec (objemy jsou udány na jednu 20 µl reakci)
- 4 µl směs dNTP (složky byly přidávány v daném pořadí)
- 1 µl inhibitor RNas
- 1 µl ArrayScript (enzym).

Master mix byl jemně vortexován a krátce centrifugován (5s). Bylo přidáno 9 µl master mixu do každého vzorku RNA, důkladně promícháno pipetováním (2~~x~~^z3x) a 3~~x~~^z4x cvrnknuto do zkumavek. Krátce centrifugováno a umístěno do bloku cykleru (42°C). Reakce byly inkubovány 2 hod při 42°C, poté krátce stočeny a dány na led (4°C).

Na ledu byl připraven master mix pro syntézu druhého řetězce cDNA:

63 µl	voda bez nukleas
10 µl	10x pufr pro druhý řetězec (objemy jsou udány na jednu 100 µl reakci)
4 µl	směs dNTP (složky byly přidávány v daném pořadí)
2 µl	DNA polymerasy
1 µl	RNasy H.

Master mix byl jemně vortexován a krátce stočen (5s). Bylo přidáno 80 µl master mixu ke každému vzorku, důkladně promícháno pipetováním (2~~x~~^z3x) a 3~~x~~^z4x cvrnknuto do zkumavek. Krátce centrifugováno, umístěno do předem vychlazeného bloku cykleru na 16°C. Reakce byly inkubovány 2 hod při 16°C, poté 4°C.

Získaná cDNA byla přečištěna. Centrifugace byly prováděny při 10 000 g a laboratorní teplotě (otáčky nesmí překročit 16 000 g, došlo by k poškození skleněného filtru a vlákna filtru by mohla kontaminovat eluát). Bylo předehráto dostatečné množství vody bez nukleas pro eluci na 55°C (při teplotě ≥ 58°C dochází k částečné denaturaci cDNA) nejméně 10 min před použitím. Do promývacího pufru bylo přidáno 24 ml etanolu.

Ke vzorkům cDNA bylo přidáno 250 µl cDNA vazebného pufru, důkladně promícháno pipetováním (2~~x~~^z3x), 3~~x~~^z4x poklepáno na zkumavky a krátce stočeno. Kolonky byly umístěny do dodaných promývacích zkumavek a na jejich střed naneseny vzorky (cDNA s cDNA vazebným puarem). Centrifugováno 1 min 10 000 g, eluát byl zlikvidován. Na každou kolonku bylo aplikováno 500 µl promývacího pufru, centrifugováno 1 min 10 000 g a eluát byl zlikvidován. Vzorky na kolonkách byly opětovně 1 min centrifugovány 10 000 g (odstranění veškerého promývacího pufru). Kolonky s cDNA byly přendány do elučních zkumavek. Na střed kolonek bylo naneseno 10 µl vody bez nukleas vytemperované na 55°C, necháno 2 min stát při laboratorní teplotě a poté centrifugováno 1,5 min 10 000 g. Na střed kolonek byl nanesen druhý alikvot předehráté vody bez nukleas - 9 µl, centrifugováno 2 min 10 000 g.

Získaná dvouřetězcová DNA v cca 17,5 µl vody z výsledného eluátu byla použita pro in-vitro transkripcí. Při laboratorní teplotě byl připraven master mix pro syntézu cRNA:

2,5 µl	T7 10x reaktní pufr (objemy jsou udány na jednu 25 µl reakci)
--------	---

2,5 µl směs T7 enzymu (složky byly přidávány v daném pořadí)

2,5 µl směs biotinem značených NTP.

Master mix byl jemně vortexován a krátce stočen (5s). Bylo přidáno 7,5 µl master mixu ke každému vzorku cDNA, důkladně promícháno pipetováním (2x3x) a 3x4x cvrnknuto do zkumavek. Vzorky krátce centrifugovány a umístěny do bloku cykleru, kde byly inkubovány při 37°C po dobu 14 h, poté 4°C. Reakce byly ukončeny přidáním 75 µl vody bez nukleas ke každému vzorku cRNA a důkladně, ale jemně, vortexovány.

Při následném přečištění došlo k odstranění enzymů, solí a neinkorporovaných nukleotidů. Centrifugace byly prováděny při 10 000 g při laboratorní teplotě (otáčky nesmí překročit 16 000 g, došlo by k poškození skleněného filtru a vlákna filtru by mohla kontaminovat eluát). Bylo předeňrátost dostatečné množství vody bez nukleas pro eluci na 60°C nejméně 10 min před použitím a byly připraveny kolonky do sběrných zkumavek. Ke každému vzorku ve 100 µl bylo přidáno 350 µl cRNA vazebného pufru. Ihned bylo přidáno 250 µl 100% etanolu, vzorky 3x promíchány pipetováním, ale nevortexovány a necentrifugovány. Po smíšení etanolu se vzorkem byla směs přenesena na střed připravených kolonek, centrifugováno 1 min 10 000 g, eluát byl zlikvidován. Na střed každé cRNA kolonky bylo aplikováno 650 µl promývacího pufru, centrifugováno 1 min 10 000 g a eluát byl zlikvidován.

Zkumavky

s kolonkami byly centrifugovány další 1 min 10 000 g (odstranění veškerého promývacího pufru) a kolonky poté byly umístěny do nových sběrných zkumavek. Na střed kolonky bylo nanесено 100 µl vody bez nukleas vytemperované na 60°C, necháno 2 min stát při laboratorní teplotě a centrifugováno 1,5 min 10 000 g.

Byla změřena koncentrace amplifikované cRNA na Nanodropu (1 µl). Pokud byla nižší než 150 ng/µl či byl nízký poměr absorbancí u 260 nm ku 230 nm, tak byly vzorky precipitovány. Ke vzorku přečištěné cRNA byla přidána 1/10 objemu 3M CH₃COONa, pH 5,2, *Ribopure™* (10 µl) a 2,5 násobek objemu 100% etanolu (275 µl), důkladně promícháno a ponecháno 60 min v mrazicím boxu při -20°C. Vzorky byly centrifugovány na 16 100 g po dobu 30 až 60 min při 4°C a opatrн byl odstraněn supernatant. Pelety byly promyty 500 µl 70% etanolu, zkumavky centrifugovány na 16 100 g po dobu 15 min při 4°C, supernatant opatrн odstraněn, případně byly znova rychle centrifugovány a odstraněny i zbytky etanolu. Pelety cRNA byly ponechány cca 2 min na vzduchu, aby oschlly. Poté byly suspendovány v požadovaném objemu vody bez nukleas ($\geq 12 \mu\text{l}$).

Výtěžek závisel na množství a kvalitě poly(A)RNA v celkové RNA. Byla změřena koncentrace na NanoDropu (1 µl) a stanoven profil délek cRNA pomocí Bioanalyzeru 2100, Agilent (1 µl), který má být mezi 250–5500 nt s většinou cRNA mezi 1000–1500 nt.

Pokud byla finální koncentrace cRNA \geq 150 ng/µl a profil v pořádku, byly vzorky použity pro hybridizaci na *Human WG6-v2 Expression BeadChip* firmy Illumina.

Byla předehřáta hybridizační pec s výkyvnou plošinou na 58°C alespoň 1 hodinu před použitím. Vzorky byly připraveny tak, aby vstupní množství cRNA do hybridizace bylo 1,5 µg. Maximální možný objem je 10 µl, případně vzorky na tento objem byly doplněny vodou bez nukleas a promíchány. Po dobu 10 min nechány stát při laboratorní teplotě, aby došlo k řádnému rozpuštění. Do hybridizační pece vytemperované na 58°C byly na 10 min vloženy zkumavky s *GEX-HYB* a *GEX-HCB* (pro rozpuštění skladováním precipitovaných solí). Ke každému vzorku 1,5 µg cRNA v 10 µl vody bez nukleas bylo přidáno 20 µl *GEX-HYB*, byly jemně vortexovány a rychle centrifugovány.

Illumina Hyb Chamber Basket byl umístěn do *BeadChip Hyb Chamber*. Bylo pipetováno 200 µl *GEX-HCB* do každého ze dvou reservoárů pro zvlhčující pufr v každé *Hyb Chamber*. Pufr byl dáván pouze do komor, které byly použity. *Hyb Chamber* byl utěsněn víkem a nechán při laboratorní teplotě (~22°C) než byly čipy dány do *Hyb Chamber*. Na laboratorní teplotu vytemperované čipy byly vyndány z jejich obalů (*Human WG6-v2 Expression BeadChip*). Byly používány výhradně rukavice bez pudru. Čipy byly pinzetou drženy za krycí fólii v oblasti barkódu, vloženy do *Hyb Chamber Insert* tak, aby jejich směr souhlasil se symbolem barkódu na *Insertu*.

Analyzované vzorky cRNA smíchané s *GEX-HYB* byly zahřány na 65°C po dobu 5 min. Jemně vortexovány a rychle centrifugovány, aby byla kapalina shromážděna na dně zkumavky. Před dalším použitím vzorky ponechány při laboratorní teplotě vychladnout a ihned poté byly pipetovány na čipy.

Hyb Chamber Inserts obsahující čipy byly umístěny do *Hyb Chamber* a bylo pipetováno 30 µl analyzovaného vzorku na vstupní otvor každého pole. *Hyb Chamber* opatrně uzavřen víkem a inkubován v hybridizační peci při 58°C po dobu 16 hodin s rychlosí kyvů plošiny nastavenou na 5. Před ukončením práce v daný den byl ještě připraven 1x vysokoteplotní promývací pufr přidáním 50 ml 10x koncentrovaného zásobního roztoku ke 450 ml vody bez RNAs. Teplota zahřívacího bloku naplněného 500 ml 1x vysokoteplotního promývacího pufru byla nastavena na 55°C, víko bylo zavřeno a ponecháno hřát přes noc.

Další den byl připraven promývací roztok E1BC přidáním 3 ml E1BC pufru do 1 l vody bez RNas. Na laboratorní teplotu byl předehřát blokovací pufr E1 (4 ml/čip). Bylo připraveno odpovídající množství blokovacího pufru E1 (2 ml/čip) se streptavidin-Cy3 (2 µl zásobního roztoku o koncentraci 1 mg/ml na jeden čip). Byla použita jedna kónická zkumavka pro všechny aktuálně zpracovávané čipy a před detekcí byl tento roztok uchováván v temnu.

Z hybridizační pece byla vyndána *Hyb Chamber* a rozebrána. Čipy byly ponořeny do 250 ml promývacího roztoku E1BC a byla z nich opatrně oddělána krycí fólie. Rozebrání a umístění v E1BC promývacím roztoku bylo opakováno pro všechny aktuálně zpracovávané čipy. Čipy byly následně umístěny do držáku, který byl za rukojet' přemístěn do *Hybex Waterbath Insert* obsahujícího 1x vysokoteplotní promývací pufr přes noc předehřátý na 55°C. Se zavřeným víkem byly čipy bez třepání inkubovány 10 min. Během této inkubace bylo připraveno 250 ml promývacího roztoku E1BC v čisté barvící nádobě. Ihned po 10 min inkubaci s vysokoteplotním promývacím pufrem byl držák s čipy přesunut do připraveného čerstvého promývacího roztoku E1BC. Držák krátce a intenzivně v nádobě protřepán pohybem nahoru a dolů, poté na 5 min umístěn na rotační třepačku na maximální rychlosť, při které nedocházelo k vyšplíchnutí roztoku z nádoby (120 rpm). Přemístěn do čisté barvící nádoby s 250 ml 100% etanolu. Krátce a důsledně pomocí rukojeti držáku byly čipy proprány a poté 10 min třepány na orbitální třepačce při maximální rychlosti. Čipy byly přemístěny do čisté barvící nádoby s 250 ml promývacího roztoku E1BC, krátce a intenzivně promíchány a třepány na orbitální třepačce po dobu 2 min. Čipy byly přemístěny do připravených *Wash Tray* se 4 ml blokovacího pufru E1, dány na výkyvnou desku (analyzovaná plocha se vzorky musí vždy směřovat nahoru) a kývány na střední rychlosť po dobu 10 min. Čipy byly přendány do čisté *Wash Tray* se 2 ml blokovacího pufru E1 + streptavidin-Cy3, přikryty víkem a kývány na střední rychlosť dalších 10 min. Čipy byly přesunuty do připravené čisté barvící nádoby s 250 ml promývacího roztoku E1BC, krátce proprány a poté 5 min rotačně třepány při laboratorní teplotě. Čipy v držáku byly přesunuty do centrifugy s rotorem na mikrodestičky a točeny při laboratorní teplotě na 270 rcf po dobu 4 min. Usušené čipy byly ihned skenovány pomocí *Illumina® BeadArray Readeru* na skenování faktor 1,0 a 1,5 a získaná data jsou uchovávána na DVD a webovém úložišti dat.

Předkládaný vynález je doložen výsledky, které jsme obdrželi na základě celogenomové analýzy vzorků periferní krve získaných od jedinců hospitalizovaných v letech 2006¹², 2009 v Městské nemocnici Čáslav či kardiologické klinice v Pardubicích s diagnózou primárního akutního infarktu myokardu a párových kontrolních osob hospitalizovaných v Městské nemocnici v Čáslavi ve stejném období z důvodu komplikací pohybového ústrojí. Věk případů byl omezen hranicí 80 let. Párové kontrolní osoby nesměly mít pozitivní historii výskytu závažných kardiovaskulárních onemocnění a byly k odpovídajícím případům vybírány tak, aby docházelo k podstatné shodě v rizikových faktorech výskytu akutního infarktu myokardu. Zejména byla požadována shoda v pohlaví, věku (kontroly mohly být o maximálně 5 let starší než případy) a shodný musel být též status diabetu mellitu a kuřáký status. Vzorky byly analyzovány pomocí technologie firmy Illumina, přičemž byly použity čipy verze 2 (*Human WG6-v2 Expression BeadChip*).

Ke genetickému vyšetření pacientů s akutním infarktem myokardu byly zařazovány osoby, které byly přijaty či ambulantně ošetřeny s diagnosou akutního infarktu myokardu (AIM) na příjmové ambulanci Interního oddělení MN Čáslav. Do souboru byli rovněž zařazováni pacienti, kteří byli vezeni posádkou rychlé záchranné služby přímo na Kardiologickou kliniku v Pardubicích, kde byl na koronární jednotce proveden odběr krevního vzorku. Odběr byl vždy proveden po podepsání „Informovaného souhlasu“ pacientem. Smíchání vzorků venozní krve s *RNAlater*[®], jejich uskladnění a transport krevních vzorků byly prováděny dle pracovních protokolů v souladu s platnými právními předpisy a veškerá data ke vzorkům jsou uložena v příslušných databázích.

Akutní infarkt myokardu byl diagnostikován na základě anamnestických údajů, EKG křivky a laboratorního průkazu nekrosy myokardu. Byl definován jako bolest na hrudi nebo její ekvivalent trvající alespoň 10 min v posledních 24-ti hodinách s elevací úseku ST na EKG křivce (STEMI), či bez elevací ST (NONSTEMI). Biochemický průkaz nekrózy byl stanovován v naší laboratoři vyšetřením Troponinu I. Jako pozitivní hodnotu Troponinu I bylo považováno překročení horního limitu normální hodnoty v čáslavské laboratoři, tj. 0,3 µg/l. Jako pomocná diagnostická metoda byla používána echokardiografie k průkazu regionální poruchy kinetiky levé komory v povodí „infarktové tepny“. Jako standardní panel vyšetření pacientů s podezřením na AIM byl vyšetřován Troponin I okamžitě při přijetí a dále ve 4¹²-6 hodinovém intervalu v prvních 24 hodinách, AST, ALT, KO, koagulace (QT, APTT), glykémie, ionogram, urea, kyselina močová, lipidogram, CRP, u diabetiků HBA1c. Vyšetření CK a CK-MB mass a LD bylo prováděno nepravidelně dle uvážení lékaře.

Studie zahrnovala šestiměsíční sledování pacientů s akutním infarktem myokardu od okamžiku jeho výskytu. V návaznosti na zvolený statistický design byla skupina pacientů s výskytem akutního infarktu myokardu rozdělena na osoby, které z kardiovaskulárních příčin zemřely v průběhu šestiměsíčního sledování (**AIMD6**, 4 osoby) a na osoby, které přežívaly déle (**AIM**, 41 osob), párové kontroly čítaly dalších 45 osob. Tabulka 1 ukazuje vybraná data osob v analyzovaném souboru a základní data ke zpracovaným vzorkům.

Tabulka 1: Základní data k osobám z analyzovaného souboru a k analyzovaným krevním vzorkům odebraným z těla těchto pacientů

ID	Vzorek	Pohlaví	Ročník	Exitus	Diabetes mellitus	Kouření	c RNA (ng/µl)	RIN	µg cRNA
C129	AIM	Muž	1948	Ne	Ne	Ano (20)	243,68	7,8	8,522
C184	AIM	Muž	1947	Ne	Ne	Ano (10)	163,76	8,8	8,813
C056	AIM	Muž	1953	Ne	Ne	Ano (15)	109,2	7,4	13,577
P008	AIM	Žena	1949	Ne	Ne	Ne	41,9	8,1	8,752
P009	AIM	Muž	1951	Ne	Ne	Ano (2)	28,6	7,1	5,108
C029	AIM	Muž	1955	Ne	Ne	Ne	43,3	7,1	9,496
C048	AIM	Žena	1960	Ne	Ne	Ne	170,3	8,5	16,748
C099	AIM	Muž	1951	Ne	Ne	Ne	261,2	8,0	10,146
C170	AIM	Žena	1929	Ne	Ne	Ne	404,7	6,1	2,390
C172	AIM	Žena	1931	Ne	Ano	Ne	353,0	7,7	8,093
C181	AIM	Žena	1934	Ne	Ano	Ne	195,2	8,1	8,633
C069	AIM	Muž	1941	Ne	Ne	Ne	185,3	8,7	6,997
P011	AIM	Muž	1947	Ne	Ne	Ne	245,2	6,9	4,194
C147	AIM	Muž	1945	Ne	Ne	Ne	317,5	6,7	5,176
C005	AIMD6	Muž	1939	Ano	Ne	Ne	89,5	8,1	7,351
C053	AIMD6	Žena	1935	Ano	Ne	Ne	327,1	7,7	8,389
P010	AIMD6	Žena	1928	Ano	Ano	Ne	188,3	8,1	8,248
C185	AIM	Muž	1937	Ne	Ano	Ne	191,54	8,2	7,695
C195	AIM	Muž	1946	Ne	Ano	Ne	293,41	8,2	13,269
C284	AIM	Muž	1953	Ne	Ne	Ano (20)	210,06	7,4	8,364
C194	AIM	Muž	1933	Ne	Ne	Ne	160,62	8,0	15,856
C238	AIM	Muž	1934	Ne	Ano	Ne	204,88	7,8	8,750
C078	AIMD6	Muž	1937	Ano	Ano	Ne	170,38	8,2	15,901
C016	AIM	Muž	1944	Ne	Ne	Ne	84	7,1	6,802
C074	AIM	Muž	1943	Ne	Ne	Ne	209,2	6,9	7,509
P003	AIM	Žena	1936	Ne	Ne	Ano (10)	113,8	6,8	7,505
C037	AIM	Žena	1933	Ne	Ano	Ne	226,2	8,5	3,76
C036	AIM	Žena	1934	Ne	Ne	Ne	31,4	6,2	2,986
C030	AIM	Muž	1951	Ne	Ne	Ne	152,2	8,7	3,186

ID	Vzorek	Pohlaví	Ročník	Exitus	Diabetes mellitus	Kouření	c (ng/µl) RNA	RIN	µg cRNA
C108	AIM	Muž	1955	Ne	Ne	Ano (15)	197,9	7,5	10,566
C119	AIM	Muž	1948	Ne	Ne	Ano (2)	365	7,1	6,499
C065	AIM	Žena	1933	Ne	Ano	Ne	79,7	7,6	2,536
C039	AIM	Žena	1959	Ne	Ano	Ne	434,2	6,5	7,939
C125	AIM	Muž	1928	Ne	Ano	Ne	184,7	8,4	4,120
C139	AIM	Muž	1939	Ne	Ne	Ne	126,5	8,4	7,674
C120	AIM	Muž	1949	Ne	Ne	Ne	103,6	8,7	4,480
C063	AIM	Žena	1941	Ne	Ne	Ne	282,9	8,5	4,526
C205	AIM	Muž	1944	Ne	Ano	Ano (10)	85,7	8,4	7,141
C174	AIM	Muž	1950	Ne	Ne	Ne	127,97	8,0	6,820
C182	AIM	Muž	1954	Ne	Ne	Ano (40)	97,47	8,1	12,236
C289	AIM	Muž	1957	Ne	Ne	Ne	213,42	8,0	9,322
C019	AIM	Žena	1930	Ne	Ne	Ne	36,59	7,7	3,043
C013	AIM	Muž	1939	Ne	Ano	Ne	194,74	7,9	4,813
C269	AIM	Muž	1938	Ne	Ne	Ne	320,41	8,2	4,974
P019	AIM	Žena	1931	Ne	Ano	Ne	86,65	7,9	4,535
C083	CTRL	Muž	1947	Ne	Ne	Ano (5)	186,6	8,4	15,045
C250	CTRL	Muž	1946	Ne	Ne	Ano (25)	10,04	7,7	1,907
C138	CTRL	Muž	1950	Ne	Ne	Ano (15)	290,9	7,1	6,189
C081	CTRL	Žena	1949	Ne	Ne	Ne	58,4	6,7	9,044
C149	CTRL	Muž	1949	Ne	Ne	Ano (20)	47,39	7,6	5,758
C014	CTRL	Muž	1955	Ne	Ne	Ne	51,74	7,2	2,403
C133	CTRL	Žena	1960	Ne	Ne	Ne	177,2	8,6	9,447
C101	CTRL	Muž	1951	Ne	Ne	Ne	237,38	8,7	10,019
C109	CTRL	Žena	1928	Ne	Ne	Ne	302,8	8,5	9,941
C022	CTRL	Žena	1929	Ne	Ano	Ne	232,48	7,6	8,534
C023	CTRL	Žena	1931	Ne	Ano	Ne	223,54	8,1	4,486
C213	CTRL	Muž	1941	Ne	Ne	Ne	124,24	7,8	7,42
C282	CTRL	Muž	1948	Ne	Ne	Ne	297,68	7,0	3,988
C260	CTRL	Muž	1946	Ne	Ne	Ne	147,18	8,5	8,003
C010	CTRL	Muž	1938	Ne	Ne	Ne	301,91	8,0	7,3
C163	CTRL	Žena	1934	Ne	Ne	Ne	112,15	7,9	6,127
C208	CTRL	Žena	1928	Ne	Ano	Ne	246,12	7,8	4,79
C348	CTRL	Muž	1937	Ne	Ano	Ne	94,68	7,8	14,11
C304	CTRL	Muž	1946	Ne	Ano	Ne	213,16	8,5	17,068
C302	CTRL	Muž	1952	Ne	Ne	Ano (10)	80,07	8,2	15,571
C098	CTRL	Muž	1932	Ne	Ne	Ne	200,5	7,3	8,272
C272	CTRL	Muž	1930	Ne	Ano	Ne	91,86	8,3	8,709
C287	CTRL	Muž	1936	Ne	Ano	Ne	145,6	8,3	8,272
C198	CTRL	Muž	1944	Ne	Ne	Ne	270,3	7,2	7,32
C204	CTRL	Muž	1943	Ne	Ne	Ne	249,8	6,6	8,982

ID	Vzorek	Pohlaví	Ročník	Exitus	Diabetes mellitus	Kouření	c (ng/µl) RNA	RIN	µg cRNA
C209	CTRL	Žena	1937	Ne	Ne	Ano (10)	191	7,4	13,377
C124	CTRL	Žena	1933	Ne	Ano	Ne	64,91	8,6	2,198
C110	CTRL	Žena	1934	Ne	Ne	Ne	207,59	8,0	4,37
C150	CTRL	Muž	1952	Ne	Ne	Ne	130,5	8,4	2,566
C058	CTRL	Muž	1954	Ne	Ne	Ano (8)	327,4	9,2	6,875
C066	CTRL	Muž	1947	Ne	Ne	Ano (10)	345,4	6,2	8,219
C118	CTRL	Žena	1934	Ne	Ano	Ne	79,4	6,0	9,242
C210	CTRL	Žena	1960	Ne	Ano	Ne	577,3	7,4	3,562
C310	CTRL	Muž	1929	Ne	Ano	Ne	127,05	8,5	6,859
C294	CTRL	Muž	1939	Ne	Ne	Ne	120,56	7,0	7,361
C187	CTRL	Muž	1949	Ne	Ne	Ne	123,56	7,5	3,689
C011	CTRL	Žena	1940	Ne	Ne	Ne	28,12	7,3	2,632
C116	CTRL	Muž	1941	Ne	Ano	Ano (20)	111,21	7,9	10,515
C274	CTRL	Muž	1950	Ne	Ne	Ne	209,68	7,8	4,306
C168	CTRL	Muž	1953	Ne	Ne	Ano (20)	69,67	8,5	10,008
C061	CTRL	Muž	1955	Ne	Ne	Ne	164,27	8,3	8,27
C106	CTRL	Žena	1928	Ne	Ne	Ne	27,9	8,3	5,31
C207	CTRL	Muž	1937	Ne	Ano	Ne	82,02	8,7	10,79
C206	CTRL	Muž	1934	Ne	Ne	Ne	142,91	7,8	4,888
C221	CTRL	Žena	1929	Ne	Ano	Ne	210,16	8,0	4,3

Tabulky 2 a 3 shrnují popisné charakteristiky relevantních klinických a demografických údajů. Kompletní datový soubor obsahoval záznamy o 45 pacientech s primárním výskytem akutního infarktu, z toho 41 ve skupině AIM a 4 ve skupině AIMD6, a dále záznamy o 45 kontrolních pacientech. V datovém souboru bylo 60 mužů a 30 žen. Ve skupině AIM bylo 13 žen a 28 mužů, ve skupině AIMD6 2 muži a 2 ženy a ve skupině CTRL bylo 15 žen a 30 mužů. Ve skupině AIM bylo 10 kuřáků a 31 nekuřáků, ve skupině AIMD6 byly všechny osoby nekuřáci a ve skupině CTRL bylo 10 kuřáků a 35 nekuřáků. Co se týče diabetu mellitu II. typu, ve skupině AIM bylo 12 osob s touto diagnózou a 29 bez ní, ve skupině AIMD6 byly 2 osoby s touto diagnózou a 2 bez ní a konečně ve skupině CTRL (Kontroly) bylo 14 pacientů s touto diagnózou a 31 bez ní.

Tabulka 2: Počty pacientů a procentuální vyjádření zastoupení popisných charakteristik kategorických veličin

Proměnná	Počty a procentuální údaje
----------	----------------------------

		ve skupinách		
		AIM	AIMD6	Kontroly
Pohlaví	Muži	28 (68 %)	2 (50 %)	30 (67 %)
	Ženy	13 (32 %)	2 (50 %)	15 (33 %)
Kouření	Kuřáci	10 (24 %)	0 (0 %)	10 (22 %)
	Nekuřáci	31 (76 %)	4 (100 %)	35 (78 %)
Diabetes mellitus II. typu	ANO	12 (29 %)	2 (50 %)	14 (31 %)
	NE	29 (71 %)	2 (50 %)	31 (69 %)

Tabulka 3: Popisné charakteristiky spojitých veličin

Skupina	Věk pacienta		
	N	Průměrná hodnota	Směrodatná odchylka
AIM	41	63,6	9,18
AIMD6	4	72,3	4,73
Kontroly	45	65,5	9,42

Vzorky venózní krve odebrané od pacientů byly zpracovávány postupem podle Příkladu 1. Data genové exprese byla analyzována pomocí lineárních modelů pro analýzu dat z microarray experimentů „limma“ (Smyth, G. K.: Linear models and empirical Bayes methods for assessing differential expression in microarray experiments, 2004, *Statistical Applications in Genetics and Molecular Biology* 3, No. 1, Article 3, doi:10.2202/1544-6115.1027), navržených pro statistický a grafický systém R (<http://www.r-project.org>) v rámci projektu Bioconductor (<http://www.bioconductor.org>). Data byla normalizována pomocí kvantilové normalizace (Smyth G.K. and Speed T.P.: Normalization of cDNA microarray data, 2003, *Methods* 31, 265–273, doi:10.1016/j.physletb.2003.10.071). Šum signálu na pozadí čipu, u kterého se předpokládá normální rozložení, byl odstraněn pomocí konvolučního modelu. Tento model předpokládá, že signál z čipu čtený pomocí skeneru je směsí normálně rozděleného šumu a exponenciálně rozděleného signálu intenzit genové exprese (Ritchie M.E., Silver J., Oshlack A., Holmes M., Diyagama D., Holloway A., Smyth G.K.: A comparison of background correction methods for two-colour microarrays, 2007, *Bioinformatics* 23, 2700–2707, PMID:17720982).

Medicínská hypotéza předpokládala možnost genetické determinace (predispozice) výskytu akutního infarktu myokardu vzhledem k obecné české populaci jak v populaci pacientů

přežívajících období šestiměsíčního sledování (kontrast AIM vs Kontroly), tak též u pacientů v tomto období zemřelých (kontrast AIMD6 vs Kontroly). Podobně byla předpokládána vyšší genetická zátěž u pacientů s výskytem infarktu, kteří zemřeli v období šestiměsíčního sledování, v porovnání s populací pacientů přežívající srdeční příhodu dlouhodoběji (kontrast AIMD6 vs AIM). Párový statistický design byl zvolen s cílem snížit počty odhadovaných parametrů, které by jinak bylo nutné zohlednit jako možné zavádějící faktory (pohlaví, věk, výskyt kouření a diabetu mellitu) a dále odlišit klinickou a genetickou komponentu komplexního rizika výskytu akutní srdeční příhody. Síla statistických testů je navíc v párovém designu v porovnání s dvou- a vícevýběrovými plány statistických studií typicky vyšší.

Vzhledem k tomu, že o Illumina čipech je známo, že aktuální naměřené hodnoty intenzit genové exprese bývají na jednotlivých čipech plošně posunuty o neznámou konstantu, je tedy nutné zohlednit v rámci statistické analýzy a odpovídající korekční konstanty je třeba odhadnout v lineárním modelu. Z tohoto důvodu také není vhodné uvažovat o korelacích mezi naměřenými hodnotami intenzit genové exprese a hodnotami klinických proměnných. Relevantní závěry proto nutně vycházejí pouze z výsledků obdržených z lineárního modelu, kde jsou lineární efekty jednotlivých čipů na hodnoty intenzit genové exprese adjustovány. Lineární statistický model (*limma*) zohledňoval vliv použitého čipu na hodnoty intenzit genové exprese. Intenzity genové exprese vstupovaly do lineárního modelu jako dvojkové logaritmy původních hodnot. Obrázky 2a a 2b ukazují diagnostiku lineárního modelu pro logaritmovaná data intenzit genové exprese při základu 2 pro všechny tři uvažované kontrasty pomocí Q-Q kvantilových grafů. Ideální kvantilový Q-Q graf by měl mít shodné empirické a teoretické hodnoty kvantilů, takže všechny zobrazené hodnoty by ležely na přímce. Q-Q grafy shodně potvrzují, že použití lineárního modelu je ve všech třech případech adekvátní. Lineární model můžeme schematicky popsat následovně:

$$\log_2(\text{intenzita}) \sim \text{pár} + \text{skupina},$$

přičemž proměnná „pár“ identifikuje dvojici případu a odpovídající párové kontroly, která byla vždy umístěna na stejném Illumina čipu. Proměnná „skupina“ kóduje příslušnost k populacím AIM, AIMD6 a Kontrol. Tento model je zobecněnou verzí párového testu.

Množiny genů identifikované na základě výsledků z lineárního *limma* modelu byly dále analyzovány pomocí PAM modelu, s jehož pomocí byla pro každý kontrast zjištěna podmnožina genů s prediktivními vlastnostmi v nezávislých výběrech. Lineárním modelem dříve zjištěné množiny genů mohou až „příliš dobře“ vysvětlovat konkrétní data, ze kterých

jsou výsledky odvozeny (tzv. „over-fitting“), ovšem na úkor prediktivity v nezávislých výběrech. K tomuto účelu byl využit PAM model („Predictive Analysis for Microarrays“), který pomocí křížové validace a využití „shrinkage“ principu identifikuje podmnožinu genů, která by měla mít optimální vlastnosti z hlediska určování pravděpodobné příslušnosti sledovaných jedinců k některé ze sledovaných populací (AIMD6, AIM a Kontroly).

Za diferenciálně exprimované byly obecně považovány geny, které splňovaly jak podmínu statistické významnosti na hladině 5%, tak též klinické významnosti, která předpokládá, že dvojkový logaritmus podílu hodnot intenzit genové exprese je v absolutní hodnotě větší nebo roven jedné. Statistická analýza prokázala statisticky i klinicky významnou asociaci mezi krátkodobou úmrtností subjektů (v horizontu 6 měsíců po primární akutní srdeční příhodě) a jejich expresním genovým profilem u 15 genů v případě diagnostického kontrastu AIMD6 vs Kontroly a u 10 genů v případě prognostického kontrastu AIMD6 vs AIM. Prediktivní diagnostická množina genů pro kontrast AIM vs Kontroly čítala 13 genů a v limma modelu byla pouze statisticky signifikantní na hladině statistické významnosti $\alpha = 0,10$. Tuto množinu již nebylo možné dále redukovat pomocí PAM modelu.

Popis výsledků

Geny resp. transkripty uvedené v následujících tabulkách specifikují *prediktivní diagnostickou a prognostickou množinu genů* pro kontrast AIM vs. kontroly, které byly získány následujícím postupem: nejprve byla pomocí *limma* modelu („Linear Models for Microarray Data“, <http://bioinf.wehi.edu.au/limma/>) na úrovni celého lidského genomu (na Illumina čipech verze 2 bylo zmapováno celkem 25036 genů) identifikována množina statisticky (q -hodnota $\leq 0,05$) i klinicky významných genů ($|\log_2\text{-fold change}| \geq 1$, tj. alespoň dvojnásobná změna intenzity genové exprese směrem nahoru nebo dolů). Tato množina byla následně redukována aplikací prediktivního PAM modelu (Prediction Analysis for Microarrays, <http://www-stat.stanford.edu/~tibs/PAM/>), navrženého k vyhledávání množin genů s prediktivními vlastnostmi v nezávislých výběrech. Výskyt opakovaných pozorování (tj. technických replikátů) u 7 pacientů byl na úrovni *limma* modelu ošetřen použitím smíšeného lineárního modelu pro korelovaná data. Sekvence sond jsou uvedeny v tabulce 5.

V Tabulce 4 je uvedena prediktivní množina 13 genů identifikovaná v rámci vynálezu, která se vzhledem k obecné české populaci z hlediska genové exprese jeví jako diagnostická ve

smyslu zvýšeného rizika výskytu akutního infarktu myokardu, bez fatálních následků v krátkodobém horizontu. Jedná se o sestavu genů, jejichž expresní intenzity, se ve skupinách pacientů s výskytem akutního infarktu myokardu bez fatálních následků do 6 měsíců od doby výskytu srdeční příhody (AIM) a pacientů kontrolních (Kontroly) odlišovaly statisticky významně na hladině statistické významnosti $\alpha=0,10$. Tuto množinu již nebylo možné pomocí prediktivního modelu PAM dále redukovat.

Množina 13 genů resp. lokusů a transkriptů byla stanovena na základě celogenomové analýzy genové exprese vzorků lidské venózní krve odebrané z těla pacientů s primárním výskytem infarktu myokardu. Průměrné hodnoty logaritmované genové exprese při základu 2 v populacích AIM a Kontrol jsou uvedeny v Tabulce 6. Simultánně snížené hodnoty intenzit genové exprese 9 genů/lokusů uvedených v tabulkách (OLIG2, MS4A3, CEBPE, LIPA, EPAS1, CLINT1, MYCT1, VPS29 a LOC130951) a současně zvýšené hodnoty genové exprese u genů VNN3, FOS, LOC645649 a lidského T-buněčného receptoru (RefSeq_ID „M97723“) vzhledem ke kontrolní obecné české populaci, indikují příslušnost pacienta k rizikové populaci AIM. Obecně naznačují zvýšené riziko výskytu akutního infarktu myokardu bez fatálních následků v krátkodobém časovém horizontu. Diagnóza na základě exprese genů, stanovené jak je popsáno v tomto vynálezu, by měla implikovat zvýšenou pozornost klinickým rizikovým faktorů výskytu akutního infarktu myokardu (např. výskyt diabetu mellitu, kouření, nadváha) a jejich cílené zvýšené prevenci.

Tabulka 4: Prediktivní diagnostická množina genů pro kontrast AIM vs Kontroly

Illumina ID	Název / Lokus genu	RefSeq_ID	Průměrná exprese	$\log_2 FC$	q-hodnota	Pravděpod. Diff. Expr.
1240136	OLIG2	<u>NM_005806.2</u>	6,41	-0,891	0,0756	0,954
2810373	VNN3	<u>NM_001024460.1</u>	9,98	0,498	0,0756	0,966
3400551	MS4A3	<u>NM_006138.4</u>	7,82	-0,635	0,0756	0,908
10332	CEBPE	<u>NM_001805.2</u>	6,91	-0,447	0,0756	0,944
4250379	FOS	<u>NM_005252.2</u>	10,27	0,388	0,0756	0,974
1470070	LIPA	<u>NM_000235.2</u>	10,17	-0,373	0,0756	0,978
4040148	LOC645649	<u>XM_928663.1</u>	8,01	0,286	0,0906	0,888
6940246	(M97723)	<u>M97723</u>	7,05	0,382	0,0756	0,949
780243	EPAS1	<u>NM_001430.3</u>	6,63	-0,314	0,0756	0,908
6370187	CLINT1	<u>NM_014666.2</u>	9,41	-0,246	0,0756	0,915
6280239	MYCT1	<u>NM_025107.1</u>	5,36	-0,150	0,0756	0,921
3400170	VPS29	<u>NM_016226.2</u>	10,57	-0,145	0,0756	0,912
4730343	LOC130951	<u>NM_138804.2</u>	5,14	-0,125	0,0756	0,920

Illumina ID ... Illumina identifikátor genu

RefSeq_ID ... NCBI Reference Sequence ID ("Accession number")

Průměrná exprese ... Průměrná hodnota intenzit genové exprese ve spojeném souboru log₂FC ... Dvojkový logaritmus adjustovaného podílu intenzit ve skupinách AIMD6 a Kontrol q-hodnota ... Storeyho adjustace dosažené hladiny významnosti pro mnohonásobná porovnávání (Storey JD, Tibshirani R. Statistical significance for genomewide studies. Proc Natl Acad Sci U S A. 2003 Aug 5;100(16):9440-5. Epub 2003 Jul 25. PubMed PMID: 12883005; PubMed Central PMCID: PMC170937.) Pravděpod. Diferenciální Expresce ... Pravděpodobnost, že sledovaný gen je skutečně diferenciálně exprimován

Tabulka 5: Sekvence sond prediktivní diagnostické množiny genů pro kontrast AIM vs Kontroly

Illumina ID	Sekvence sondy	Definice
1240136	CACAAATGGTAAACTCCTCC ACGTGCTTCCTGCGTCCGT GCAAGCCGCC	Lidský oligodendrocytový transkripční faktor 2 (Homo sapiens oligodendrocyte lineage transcription factor 2 (OLIG2)), mRNA.
2810373	GGCCCTGTATGGAAGAGTGT TTGAGAAGGACCCTCCACGC TTAGGGCAGG	Lidský vanin 3, transkripční varianta 3 (Homo sapiens vanin 3 (VNN3), transcript variant 3), mRNA.
3400551	GTTGGCGAGTCTGAGAGCA AGCCCAAATGTGTTCTCAA AGGACAATGGG	Lidské membránové domény 4, podrodina A, člen 3, transkripční varianta 1 (Homo sapiens membrane-spanning 4-domains, subfamily A, member 3 (hematopoietic cell-specific) (MS4A3), transcript variant 1), mRNA.
10332	AGCAGCTCACCCAGGAGCT AGACACCCTCCGCAACCTCT TCCGCCAGATT	Lidský CAAT/zesilovač vážící protein, epsilon (Homo sapiens CAAT/enhancer binding protein (C/EBP), epsilon (CEBPE)), mRNA.
4250379	CCCAGTGACACTTCAGAGA GCTGGTAGTTAGTAGCATGT TGAGCCAGGCC	Lidský homolog v-fos FBJ myšího onkogenu virového ostaosarkomu (Homo sapiens v-fos FBJ murine osteosarcoma viral oncogene homolog (FOS)), mRNA.
1470070	CCCGCTACTGTCGTTATTGA TCACATCTGTGTGAAGCCAA AGCCCCGTGG	Lidská lipáza A, lysosomální kyselina, cholesterol esteráza, transkripční varianta 2 (Homo sapiens lipase A, lysosomal acid, cholesterol esterase (LIPA), transcript variant 2), mRNA.
4040148	TGCAGGTCTTGTATGCTG AGCGCCGGTCCCCTAGGCC ACTGTTTT	Lidský předpokládaný protein LOC 645649 (PREDICTED: Homo sapiens hypothetical protein LOC645649 (LOC645649)), mRNA.
6940246	GTACCGTCAGAACCTGGAC AGAGCCTGACACTGATCGC AACTGCAAATC	Lidský T-buněčný receptor (Human T-cell receptor (V beta 4.1-variant, J beta 2.1, C beta 2)) mRNA.
780243	AGCTGCACGGCATTACCCA CACAGGGTGGCAGAACTTG AAGGGTTACTG	Lidský endoteliální PAS doménový protein 1 (Homo sapiens endothelial PAS domain protein 1 (EPAS1)), mRNA.
6370187	TGGCAAGGCTTCCTCCGTG TTTATCCCTGTAGCCATCAT TTAAGTCAGG	Lidský klathrinový interaktor 1 (Homo sapiens clathrin interactor 1 (CLINT1)), mRNA.
6280239	AGTGGCTGTGAACGTCGAA GCAACCTCAGCCTGCCAGT CTCACCTCCA	Lidský cíl myc 1 (Homo sapiens myc target 1 (MYCT1)), mRNA.
3400170	GCCCTGTTGCAGAGGCAATT TGATGTGGACATTCTTATCT CGGGACACAC	Lidský vakuolární protein 29, transkripční varianta 1 (Homo sapiens vacuolar protein sorting 29 (yeast) (VPS29), transcript variant 1),

4730343	AATCCAAGCCTCATTCAGA GCCTGTGCCCTTCCCACTAC ACCACCAGGC	mRNA. Lidský předpokládaný protein BC014602 (Homo sapiens hypothetical protein BC014602 (LOC130951)), mRNA.
----------------	---	---

Tabulka 6: Průměrné hodnoty logaritmovaných genových expresí prediktivní diagnostické množiny genů pro kontrast AIM vs Kontroly

Illumina ID	Název / Lokus Genu	Průměrná Expresie	
		AIM	Kontroly^(*)
1240136	OLIG2	5,99	6,88
2810373	VNN3	10,20	9,69
3400551	MS4A3	7,56	8,17
10332	CEBPE	6,68	7,13
4250379	FOS	10,43	10,04
1470070	LIPA	10,02	10,35
4040148	LOC645649	8,15	7,85
6940246	(M97723)	7,26	6,92
780243	EPAS1	6,45	6,75
6370187	CLINT1	9,29	9,52
6280239	MYCT1	5,28	5,43
3400170	VPS29	10,50	10,64
4730343	LOC130951	5,10	5,20

(*) Referenční hladina intenzity genové exprese pro posouzení zvýšeného kardiovaskulárního rizika

Porovnáním hladin genové exprese ve skupinách AIM a Kontrol bylo zjištěno celkem 13 genů s „up-“ resp. „down-regulovanou“ genovou expresí. Z toho 4 geny vykazovaly zvýšené hladiny (VNN3, podobně jako v případě kontrastu AIMD6 vs Kontroly), a dále FOS, M97723 a LOC645649. Zbývajících 9 genů demonstrovalo snížené hladiny genové exprese (OLIG2, CEBPE, LIPA, MS4A3, EPAS1, CLINT1, VPS29, LOC130951 a MYCT1). U dvou ze sedmi uváděných genů lze biologickou funkci popsat jako enzymatickou aktivitu - **VNN3** (vanin 3) a **LIPA**. Dva zástupce lze popsat jako struktury blízké buněčným receptorům – RefSeq_ID **M97723.1**, T-buněčný receptor, který je složen z variant podjednotek V, J, C (V, beta 4.1-varianta, J, beta 2.1-varianta a C, beta 2-varianta, **MS4A3**, transmembránový protein s potenciálními fosforylačními místy na N- i C-konci, může hrát roli v signální transdukci hematopeotických buněk. Zbylých 9 genů lze popsat jako geny kódující struktury proteinové povahy s regulačními vlastnostmi - **MYCT1**, up-stream transkripční aktivátor v buňce, **OLIG2**, transkripční faktor ovlivňující některé fáze buněčného cyklu, **FOS**, **CEBPE**, regulační vazebné proteiny, **EPAS1**, u nějž byla pozorována role v odpovědi na hypoxické stavy v placentě či plicích a již v roce 1997 byl popsán jako důležitý regulátor vaskularizace, **CLINT1**, z mála informací o biologické roli tohoto proteinu lze zmínit jeho účast ve zpětném

transportu endogenních tzv. „cargo“-proteinů, **VPS29**, gen kódující tzv. „tfřidicí“ vakuolární protein, jehož biologická funkce je lokalizována do lysozomů **LOC645649** a **LOC130951**, oba dva hypotetické proteiny, jejichž funkce dosud popsána nebyla. **LOC645649** byl odstraněn z NCBI databáze.

Výsledky bootstrap studie pro ověření prediktivních vlastností vybraných genových sekvencí

Prediktivní vlastnosti transkriptů byly z hlediska nezávislých výběrů posuzovány pomocí bootstrap studie zaměřené na hodnocení senzitivity (SE) a specificity (SP) klasifikace na základě PAM modelu. Bootstrap studie zahrnovala analýzu 1000 náhodných výběrů pořízených s opakováním z odpovídajících populací o témže rozsahu. Výsledky studie jsou shrnuty v Tabulce 7.

Tabulka 7: Výsledky bootstrap studie na posouzení senzitivity a specificity PAM klasifikačního testu v nezávislých výběrech.

Kontrast	Výsledky PAM klasifikace (počet transkriptů použitých pro klasifikaci)
AIM vs Kontroly	SE= 0,73, SP= 0,87 (13 transkriptů)

Pro diagnostiku populace AIM (kontrast AIM vs Kontroly) jsou poněkud nižší hodnoty senzitivity i specificity klasifikačního testu na základě PAM modelu vzhledem k obecné české populaci dány obtížnou rozlišitelností z hlediska klinického, a to zejména nižšími hodnotami log₂FC, které nedosahovaly požadované úrovně klinické významnosti.

PATENTOVÉ NÁROKY

1. Způsob identifikace osob se zvýšeným genetickým rizikem výskytu akutního infarktu myokardu, a popřípadě s nízkým rizikem následného úmrtí v důsledku kardiovaskulárních komplikací do 6 měsíců od okamžiku výskytu akutního infarktu myokardu, vyznačený tím, že se v biologickém vzorku odebraném z těla pacienta stanoví intenzita exprese sady genů a genetických lokusů:

Název / Lokus genu	SEQ ID No.	Referenční hodnota intenzity exprese (nízké riziko) stanovená na celogenomovém / oligonukleotidovém čipu	Min. odchylka od ref. hodnoty exprese, značící zvýšené riziko
OLIG2	1	6,88	-0,891
VNN3	2	9,69	0,498
MS4A3	3	8,17	-0,635
CEBPE	4	7,13	-0,447
FOS	5	10,04	0,388
LIPA	6	10,35	-0,373
LOC645649	7	7,85	0,286
(M97723)	8	6,92	0,382
EPAS1	9	6,75	-0,314
CLINT1	10	9,52	-0,246
MYCT1	11	5,43	-0,150
VPS29	12	10,64	-0,145
LOC130951	13	5,20	-0,125

a její logaritmovaná hodnota při základu 2 se srovná s referenční hodnotou intenzity exprese, přičemž odchylka od referenční hodnoty rovná alespoň minimální odchylce u všech genů a genetických lokusů dané sady značí zvýšené riziko.

2. Způsob podle nároku 1, vyznačený tím, že biologickým vzorkem odebraným z těla pacienta jsou buňky periferní krve.

3. Oligonukleotidový čip pro identifikaci osob se zvýšeným genetickým rizikem výskytu akutního infarktu myokardu a popřípadě s nízkým rizikem následného úmrtí v důsledku kardiovaskulárních komplikací do 6 měsíců od okamžiku výskytu akutního infarktu myokardu, vyznačený tím, že obsahuje právě sondy hybridizující s DNA či RNA sady genů či genetických lokusů:

Název / Lokus genu	SEQ ID No.
OLIG2	1
VNN3	2
MS4A3	3
CEBPE	4
FOS	5
LIPA	6
LOC645649	7
(M97723)	8
EPAS1	9
CLINT1	10
MYCT1	11
VPS29	12
LOC130951	13

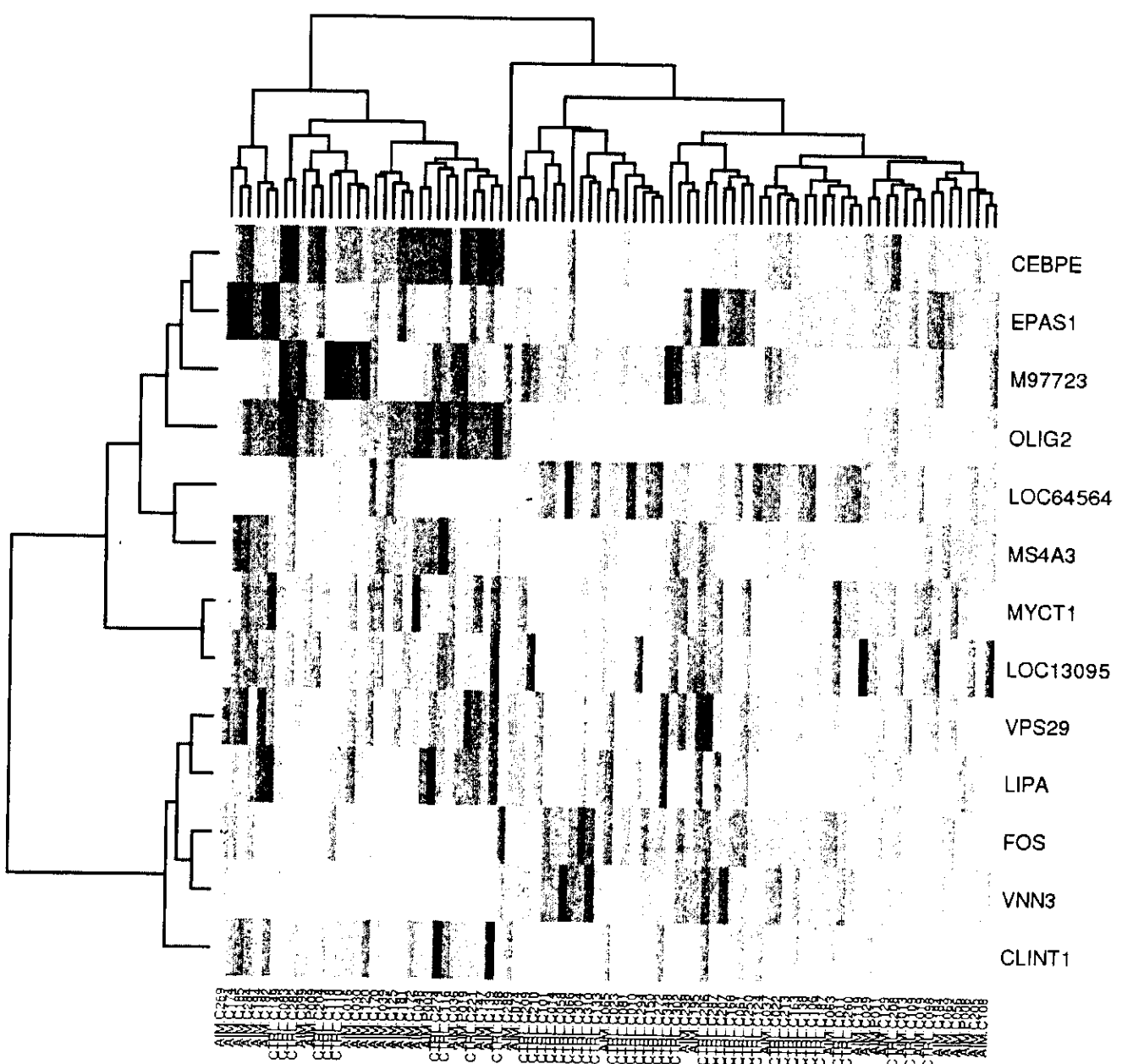
16.06.11

PV 2011 - 578
DSC489

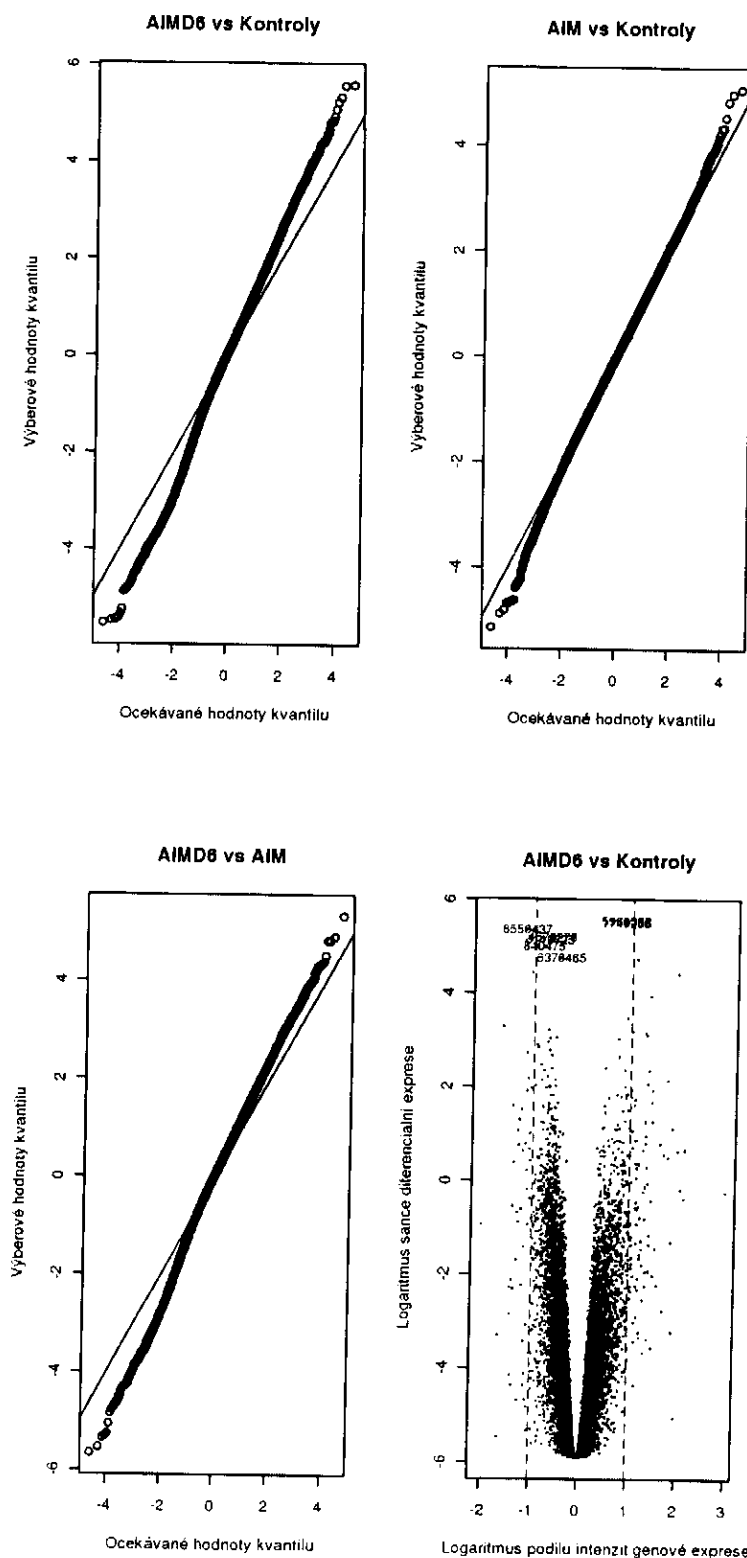
303405

36

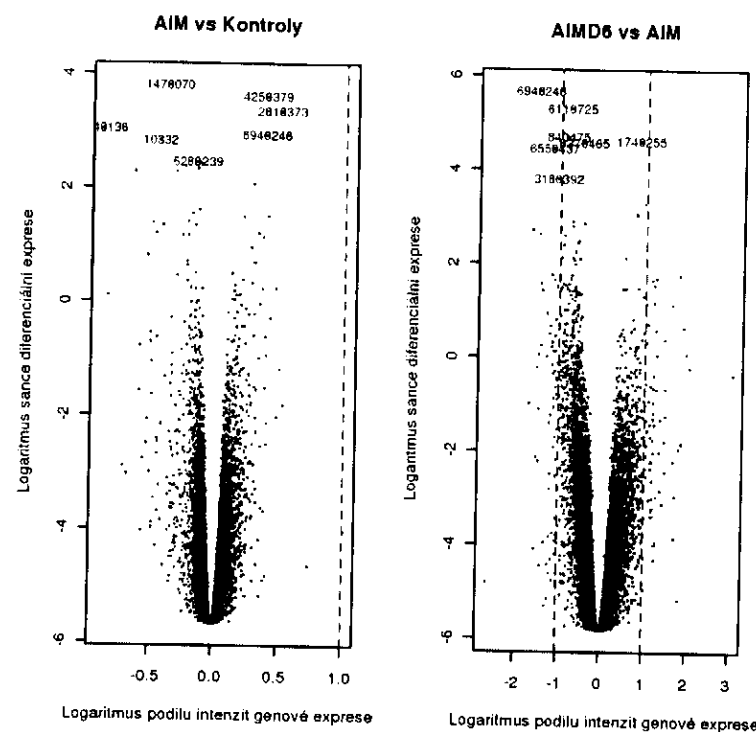
Obr. 1



Obr.2



Obr. 2 - pokračování



sequence listing divisional 1. ST25
SEQUENCE LISTING

<110> Ustav informatiky AV CR, v.v.i., Centrum biomedicinske informatiky

<120> Způsob identifikace osob se zvýšeným genetickým rizikem výskytu infarktu myokardu

<130> P1

<160> 13

<170> PatentIn version 3.3

<210> 1

<211> 2505

<212> DNA

<213> Homo sapiens

<400> 1

gtgcggatgc ttattataga tcgacgcgac accagcgccc ggtgccaggt tctccctga	60
ggcttttcgg agcgagctcc tcaaatacgca tccagatttt cgggtccgag ggaaggagga	120
ccctgcgaaa gctgcgacga ctatcttccc ctggggccat ggactcggac gccagcctgg	180
tgtccagccg cccgtcgtcg ccagagcccg atgaccttt tctgccggcc cgagtaagg	240
gcagcagcgg cagcgcccttc actgggggca ccgtgtccctc gtccacccccg agtgaactgcc	300
cggccggagct gagcggcag ctgcgcggcg ctatgggctc tgccggcgcg catcctgggg	360
acaagctagg aggcaagtggc ttcaagtcat cctcgtccag cacctcgtcg tctacgtcgt	420
cggccggctgc gtcgtccacc aagaaggaca agaagcaa at gacagagccg gagctgcagc	480
agctgcgtct caagatcaac agccgcgagc gcaagcgcac gcacgaccc aacatcgcca	540
tggatggcct cccgcgggatc atgcccgtacg cacacggccc ttccgtgcgc aagctttcca	600
agatcgccac gctgctgctg ggcgcgcaact acatcctcat gctcaccaac tcgctggagg	660
agatgaagcg actgggtgagc gagatctacg gggccacca cgctggcttc caccctcg	720
cctgcggcgg cctggcgcac tccgcgcccc tgccgcgc caccgcgcac cccgcggcag	780
cagcgcacgc cgacatcac cccgcggatc accacccat cctgcgcgc gccgcgcag	840
cggctgctgc cgccgcgtca gccgcggctg tgtccagcgc ctctctgcgc ggatccggc	900
tgccgtcggt cggctccatc cgtccaccgc acggctact caagtctccg tctgctgcgc	960
cggccgcgc gctggggggc gggggcggcg gcagtggggc gagcggggc ttccagcact	1020
ggggcggcat gcccgcgc tgccagcatgt gccaggtgcc gccgcgcac caccacgtgt	1080
cggctatggg cgccggcagc ctgcgcgc tcacctccga cgccaaatgaa gccgactggc	1140
gccggcgcgt tctggcgcaca ggggagccag gggccgcggg gaagcggagga ctggcctgcg	1200
ctgggctcg gggctcg gggctcg ggcggaggatc ggcggaggacc atggactggg ggtggggat	1260
gggtggggatt ccagcatctg cgaacccaaat gggggggc gcccacagag cagtggggag	1320
tgaggggatg ttctctccgg gacctgatcg agcgctgtct ggcttaacc tgagctggtc	1380
cagtagacat cgtttatga aaaggtaccg ctgtgtgcac tcctcactag aactcatccg	1440

sequence listing divisional 1.ST25

accccccgacc	cccacacctcg	ggaaaaagatt	ctaaaaaactt	ctttccctga	gagcgtggcc	1500
tgacttgcag	actcggcttgc	ggcagcactt	cggggggggga	gggggtgtta	tgggaggggg	1560
acacattggg	gccttgctcc	tcttcctcct	ttcttggcg	gtgggagact	ccgggttagcc	1620
gcactgcaga	agcaacagcc	cgaccgcgcc	ctccagggtc	gtccctggcc	caaggccagg	1680
ggccacaagt	tagtttggaaag	ccggcggtcg	gtatcagaag	cgctgatgg	catatccaat	1740
ctcaatatct	gggtcaatcc	acacccttt	agaactgtgg	ccgttccctcc	ctgtctctcg	1800
ttgatttggg	agaatatgg	tttctaataa	atctgtggat	gttccttctt	caacagtatg	1860
agcaagttt	tagacattca	gagtagaaacc	acttgtggat	tggaaaacc	caaaactgcc	1920
gatttcaggg	gcgggtgc	cattgttttatt	attttaaaat	agaaaactacc	ccaccgactc	1980
atcttcctt	ctctaagcac	aaagtgattt	ggttatttt	gtacactgaga	acgtaacaga	2040
attaaaaggc	agttgtgtg	gaaacagttt	gggttattt	ggggttctgt	tggcttttta	2100
aaattttctt	ttttggatgt	gtaaaatttat	caatgatgag	gtaagtgcgc	aatgctaagc	2160
tgtttgctca	cgtgactgcc	agccccatcg	gagtctaagc	cggcttcct	ctattttgtt	2220
ttattttgc	cacgtttaac	acaaatggta	aactcctcca	cgtgcttcct	gcgttccgtg	2280
caagccgcct	cggcgctg	ccaaactggca	actgggctt	gtagcgtctg	ccgtgttaaca	2340
cccttcctct	gatcgacccg	cccctcg	agagtgtatc	atctgttttta	tttttgtaaa	2400
aacaaagtgc	taaataataat	ttattactt	tttgggttgca	aaaacggaaat	aatgactga	2460
gtgtttagat	tttaaataaaa	atttaaagca	aaaaaaaaaa	aaaaaa		2505

<210> 2
<211> 1780
<212> DNA
<213> Homo sapiens

<400> 2						
aatgtaaaat	tttccagtg	aaacaaaacg	taagaatctg	agtttgg	ttt tcaaagatca	60
ctaaatttt	gttatgatta	tatcacattt	tccaaaatgt	gtggcagttt	ttgcctcct	120
tgctctgagt	gttgg	tgacacttt	tattgctgca	gtatatgagc	atgcgggtat	180
attaccaaac	agaacagaaa	cac	ctgttttc	aaaagaagaa	gcttgctcc	240
gaacatagat	gttttggaga	aagcagttaa	gctggcagcg	aagcagggtg	cacatatcat	300
tgtgacccca	gaagatggaa	tctatggtt	gatcttcacc	agggagagca	tttaccccta	360
tctagaggat	ataccagacc	ctggagtgaa	ctggattcca	tgttagagacc	cctggagaaa	420
tcactaaaat	atagtaagtt	tgagggaaatg	tctattgaat	tagattcg	gc aacacaccag	480
tgcaacaaag	actcagctgc	ctggccaagg	acaactctat	ctatgtcg	gctaataattt	540
gggacaagaa	gccatgcaat	gccagtact	ctcagtgtcc	ccctgatggc	cgttaccaat	600
acaacactga	tgtgggtttt	gattctcagg	gaaaactgtt	ggcacgctac	cataagtaca	660
atcttttgc	acctgaaatt	cagttt	gatttgcagg	ttcagaactt	gtgactttt	720
acactccctt	tggaaagttt	ggcattttta	cttgcttga	catttttct	catgacccag	780

sequence listing divisional 1.ST25

ctgtggtgtt ggtggatgag tttcaattga cagcattctc taccccacag catggtacaa	840
cacgctgccc ctccctctcggtt ccattcagca tggccaagg ccatggagt	900
caatctactt gctgcaaata cccacaacac cagcatgcac atgacaggaa gtggaatcta	960
cgcggcagaa gcagtcaagg tgtaccacta tgacatggaa acagagagtg gtcagctgtt	1020
gctatcagaa ctgaagtctc ggccccgccg tgagccacc tacccctgcag ctgttgactg	1080
gcatgcgtat gccagcagtgt tcaagccatt ttccctctgaa cagtcagatt ttctggggat	1140
gatttatttt gatgagttt cttcaccaa gcttaagaga aatacaggaa attacacagc	1200
ttgcccagaaa gatctgtgtt gtcacttaac ttacaagatg tctgagaagc gaacagacga	1260
gatctatgcc cttaggtgctt ttgatggact gcacacagta gaaggccaat attacttaca	1320
gatatgtgca ttactgaagt gtcaaaccac tgacctggaa acgtgtggag aacctgtggg	1380
gtcagctttt accaagttt aagacttctc cctcagtggc acatttggaa cgcgatatgt	1440
tttcccacag atcattctaa gtgggagtca gcttgcctt gaaagacatt atgagatttc	1500
aagagatgga cgcttgagga gccgaagtgg agcccccggc cctgtcttag ttatggccct	1560
gtatggaaga gtgttgaga aggaccctcc acgcttaggg cagggatctg ggaaattcca	1620
gtgatctcctt ttagcagagc ctttttagga ttagcctggc taagaaagga agaaaaaaaaa	1680
gagatccgtt agtgtctgtt tagaaaaagat gttataaact tacagaaaca aatataataa	1740
actgaagcag atttgaaaag caaaaaaaaaaaaaaaa	1780

<210> 3
<211> 1665
<212> DNA
<213> Homo sapiens

<400> 3 ggaggcttcc gttatcgga aaagatgctg tagtgatctt ttctgagtgt ctccctacttg	60
cgacaagggtg gacttggag gaaagccgtc tgccaaagcc tgaagcctcc aagccataaa	120
caaccccaat ggcccccac gaagttgata atgcagagct ggggtcagcc tctgcccatt	180
gtaccccaagg cagtgaggcg ggaccagaag agctgaatac ttctgtctac cagccatag	240
atggatcacc agattatcag aaagcaaaat tacaagttct tggggccatc cagatcctga	300
atgcagcaat gattctggct ttgggtgtct ttctgggttc cttgcaatac ccataccact	360
tccaaaagca cttcttttc ttcaccttct acacaggcta cccgatttgg ggtgctgtgt	420
ttttctgttag ttcaggaacc ttgtctgtt tagcagggat aaaacccaca agaacatgga	480
tacagaacag ttttggaatg aacattgcca gtgctacaat tgcactagtg gggactgctt	540
ttctctcact aaatatagca gttaatatcc agtcattaag gagttgtcac tcttcattcag	600
agtcaccgga cctatgcaat tacatggct ccatatcaa tggcatggtg tctctactgc	660
tgattctcac cttgctggaa ttatgcgtaa ccatctctac catagccatg tggtgcaatg	720
caaactgctg taattcaaga gagaaattt cctcacctcc caattctgtg taatcaagaa	780

sequence listing divisional 1.ST25

tacccctta	attctgagag	catgaatatt	tgacctaaa	tctccagtga	ctcagagctt	840
cacccacaaa	ctcaggagaa	cataagcctg	ctcgtaaagc	tcaatccttc	tatcatggca	900
ccaatcacaa	gaaccttgg	cgtttgactg	actctatcct	ttctctccta	actataaattc	960
ctatTTgt	gtcgtggta	tggaaggaca	gatatatttc	tttaggcatt	cttggatatc	1020
tgtaacttct	atgatcatta	ctccaaagtt	gtttccagaa	attggttcta	tttcttctta	1080
tccacctact	ccattgcttt	atgaggtta	aggaaggaag	gcggtaataat	ccctattcaa	1140
tatatttttt	ctaaaatcca	acttctgacc	gcccagttagg	aagaaaaatg	agacattttt	1200
tccattacag	agaaatgctt	cttgacttta	acatcagcat	tataaaaaagt	gtcaaataaa	1260
aaattaccat	cattatcatt	aaaataaatt	ttcactgtat	ttgagatggg	agggttaagg	1320
ctcagggatt	ttatTCAGT	gaactgctgg	aactcacaca	tgccctgata	tgtaaatgat	1380
gatTTATGTT	ggcgagtctg	agagcaagcc	caaatgttt	cttcaaagga	caatggaaaa	1440
ctgtAAAGTA	gagaactaaa	gaataaggcc	tttagaatct	gacacatctg	ggttcaaatt	1500
ctgaaACTGT	cacttattac	ctgtatgaac	atgggcaaatt	tatctaatct	ctctgatcta	1560
ttttcctca	tctgtaaaat	aggtgtata	ataacaacta	ctttgtcggt	tgctctgagg	1620
gttAAATGAA	aataaaaaga	aatgtgaaa	cagcaaaaaa	aaaaaa		1665

<210> 4
<211> 1250
<212> DNA
<213> Homo sapiens

<400> 4
gagagaggcc acacaggagt gggtgacaga ggagactgca gagggcaggt ctagggcaga 60
agatcgagag agggcaggcc caggtcagga ggaggttagag agagggcagc cggagcaccc 120
caaggggtgc ctcaagagca ggtggggcg gggagccgag gggcgggccc ggccatgtcc 180
cacgggacct actacgagtg tgagccccgg ggtggccagc agccactcga gttctcaggg 240
ggccgagctg ggcccgggga gctaggggac atgtgtgagc atgaggcctc cattgacctc 300
tccgcctaca tcgagtctgg ggaagagcag cttctctccg atctcttgc cgtgaagcca 360
gcgcctgagg ccagaggcct caagggcccc ggaacccctg cttccccca ctacttgcgg 420
cctgaccctc ggccctttgc ctaccctcca cataccttcg gccagacag gaaggcgctg 480
gggcctggca tctacagcag cccagggagc tacgacccca gggctgtggc ggtgaaggag 540
gagccccggg ggccagaggg cagccgagct gccagccgag gcagctacaa tcccctgcag 600
taccaagtgg cacactgtgg gcagacagcc atgcacctgc ccccaactct ggcagcaccc 660
ggccagccctc tgcgcttct caaggcccc ttggccactg cgcacccccc ctgcagttccc 720
ctccctgaagg cgcctcccc ggctggcccc ttacacaagg gcaagaaggc agtgaacaaa 780
gatagccttg agtaccggct gaggcgggag cgcaacaaca tcgcccgtgcg caagagccga 840
gacaaggcca agaggcgcat tctggagacg cagcagaagg tgctggagta catggcagag 900
aacgagcgcc tccgcagccg cgtggagcag ctcacccagg agctagacac cctccgcaac 960

sequence listing divisional 1.ST25

ctcttcggcc	agattcctga	ggcgccaac	ctcatcaagg	gcgtgggggg	ttgcagctga	1020
ggctggctgg	tggattgtgg	gcaccaggct	ccctggcacg	gcctaactct	gcggaccccc	1080
atcctgctgg	gggcctagaa	ccctgagaca	tagaccatgg	ataaatggca	accggggtgg	1140
caaagagggc	aggaccccagc	ataatgatta	tatggctgaa	taaagttgca	ctgtgactgg	1200
aaaaaaaaaa	aaaaaaaaaa	aaaaaaaaaa	aaaaaaaaaa	aaaaaaaaaa	aaaaaaaaaa	1250

<210> 5
<211> 2158
<212> DNA
<213> Homo sapiens

<400> 5

attcataaaa	cgttgttat	aaaagcagtg	gctgcggcgc	ctcgtaactcc	aaccgcac	60
gcagcgagca	tctgagaagc	caagactgag	ccggcggccg	cggcgcagcg	aacgagcagt	120
gaccgtgctc	ctacccagct	ctgctccaca	gcgcccac	gtctccgccc	ctcgcccc	180
cgcccggtt	tgccctaaccg	ccacgatgat	gttctcgggc	ttcaacgcag	actacgaggc	240
gtcatccccc	cgtgcagca	gcgcgtcccc	ggccgggat	agcctctctt	actaccactc	300
acccgcagac	tccttctcca	gcatgggctc	gcctgtcaac	gcgcaggact	tctgcacgga	360
cctggccgtc	tccagtgcca	acttcattcc	cacggtaact	gccatctcg	ccagtccgga	420
cctgcagtgg	ctgggtgcagc	ccgcctcg	ctcctccgt	gccccatcgc	agaccagagc	480
ccctcaccct	ttcggagtcc	ccgc	cgctgggct	tactccagg	ctggcgtt	540
gaagaccatg	acaggaggcc	gagcgcagag	cattggcagg	agggcaagg	tggAACAGTT	600
atctccagaa	gaagaagaga	aaaggagaat	ccgaaggaa	aggaataaga	tggctgcagc	660
caaatgcgc	aaccggagga	gggagctgac	tgatacactc	caagcggaga	cagaccaact	720
agaagatgag	aagtctgctt	tgcagaccga	gattgccaac	ctgctgaagg	agaaggaaaa	780
actagagttc	atccctggcag	ctcaccgacc	tgc	ctgctgaagg	agaaggaaaa	840
cccagaagag	atgtctgtgg	cttcccttga	tctgactgg	ggcctgccag	aggttgcac	900
cccggagtct	gaggaggct	tcaccctgcc	tctcctcaat	gaccctgagc	ccaagccctc	960
agtggAACCT	gtcaagagca	tcagcagcat	ggagctgaag	accgagccct	ttgatgactt	1020
cctgttccca	gcatcatcca	ggcccagtgg	ctctgagaca	gcccgc	tgccagacat	1080
ggacctatct	gggtccttct	atgcagcaga	ctgggagcct	ctgcacagt	gctccctgg	1140
gatggggccc	atggccacag	agctggagcc	cctgtgcact	ccgg	tggtca cctgtactcc	1200
cagctgcact	gcttacacgt	cttcctcg	ttcacctac	ccc	gaggctg actccttccc	1260
cagctgtca	gctgcccacc	gcaaggcag	cagcagcaat	gagc	cttccct ctgactcgct	1320
cagctcaccc	acgctgctgg	ccctgtgagg	ggcagggaa	ggggaggcag	ccggcaccca	1380
caagtgccac	tgcccagct	ggtgcattac	agagaggaga	aacacatctt	ccctagaggg	1440
ttcctgtaga	cctagggagg	accttatctg	tgcgtaaac	acaccaggct	gtggcctca	1500

sequence listing divisional 1 ST25
 aggacttgaa agcatccatg tgtggactca agtccttacc tcttccggag atgttagcaaa 1560
 acgcattggag tgtgtattgt tcccagtac acttcagaga gctggtagtt agtagcatgt 1620
 tgagccaggc ctgggtctgt gtctctttc tctttctcct tagtcttctc atagcattaa 1680
 ctaatctatt gggttcatta ttggaattaa cctggtgctg gatatttca aattgtatct 1740
 agtgcagctg attttaacaa taactactgt gttcctggca atagtgtgtt ctgattagaa 1800
 atgaccaata ttatactaag aaaagatacg actttatTTT ctggtagata gaaataaata 1860
 gctatatcca tgtactgttag ttttcttca acatcaatgt tcattgtaat gttactgatc 1920
 atgcattgtt gaggtggtct gaatgttctg acattaacag tttccatga aaacgtttta 1980
 ttgtgtttt aatttattta ttaagatgga ttctcagata tttatattt tattttattt 2040
 ttttctacct tgaggtctt tgacatgtgg aaagtgaatt tgaatgaaaa atttaagcat 2100
 tgtttgccta ttgttccaag acattgtcaa taaaaggcatt taagttgaat gcgaccaa 2158

<210> 6
<211> 2654
<212> DNA
<213> Homo sapiens

<400> 6
 ttcccggtgg ctggctgctc tgattggctg aacaaatagt ccgagggtgg tgggcattcg 60
 ccctcccgac aaggcagacc aggccccctg caggtcccct atccgcaccc cggcccccga 120
 gagctggcac tgcgactcga gacagcggcc cggcaggaca gctccagaat gaaaatgcgg 180
 ttcttgggtt tgggtggctg tttgggtctc tggaccctgc attctgaggg gtctggaggg 240
 aaactgacag ctgtggatcc taaaacaaac atgaatgtga gtgaaattat ctcttactgg 300
 ggattcccta gtgaggaata cctagttgag acagaagatg gatattttct gtgccttaac 360
 cgaattcctc atgggaggaa gaaccattct gacaaagggtc ccaaaccagt tgtcttcctg 420
 caacatggct tgctggcaga ttctagtaac tgggtcacaa accttgccaa cagcagcctg 480
 ggcttcattc ttgctgatgc tgggtttgac gtgtggatgg gcaacagcag aggaaatacc 540
 tggtctcgga aacataagac actctcagtt tctcaggatg aattctggc tttcagttat 600
 gatgagatgg caaaatatga cctaccagct tccattaact tcattctgaa taaaactggc 660
 caagaacaag tgtattatgt gggtcattct caaggcacca ctataggttt tatgcatttt 720
 tcacagatcc ctgagctggc taaaaggatt aaaatgtttt ttgcctggg tcctgtggct 780
 tccgtcgct tctgtactag ccctatggcc aaatttaggac gattaccaga tcatctcatt 840
 aaggacttat ttggagacaa agaatttctt ccccagagtg cgttttgaa gtggctgggt 900
 acccacgttt gcactcatgt catactgaag gagctctgt gaaatctctg ttttcttctg 960
 tgtggattta atgagagaaa tttaaatatg tctagagtgg atgtatatac aacacattct 1020
 cctgctggaa cttctgtgca aaacatgtta cactggagcc aggctgttaa attccaaaag 1080
 tttcaagcct ttgactgggg aagcagtgcc aagaattatt ttcattacaa ccagagttat 1140
 cctccccacat acaatgtgaa ggacatgctt gtgccgactg cagtcggag cgggggtcac 1200

sequence listing divisional 1.ST25

gactggcttg cagatgtcta cgacgtcaat atcttactga ctcagatcac caactggtg	1260
ttccatgaga gcattccgga atggagcat cttgacttca tttggggcct ggatccccct	1320
tggaggctt ataataaaat tattaatcta atgagaaaat atcagtgaaa gctggacttg	1380
agctgtgtac caccaagtca atgattatgt catgtaaaaa tgtgttgct tcatttctgt	1440
aaaacacttg ttttcttc ccaggtctt tgttttta tatccaagaa aatgataact	1500
ttgaagatgc ccagttcact ctagttcaa ttagaaacat actagctatt ttttcttaa	1560
ttagggctgg aataggaagc cagtgtctca accatagtat tgtctctta agtctttaa	1620
atatcactga tgtgtaaaaa ggtcattata tccattctgt tttaaaatt taaaatatat	1680
tgacttttg cccttcata gacaaagtaa tataatgttt ggaattttaa aattgtgttg	1740
tcattggtaa atctgtcact gacttaagcg aggtataaaa gtacgcagtt ttcatgtcct	1800
tgccttaaag agctctctag tctaaccggc ttgttagttag agatctaaat gacattttat	1860
catgtttcc tgcagcaggt gcatagtcaa atccagaaat atcacagctg tgccagtaat	1920
aaggatgcta acaattaatt ttatcaaacc taactgtgac agctgtgatt tgacacgttt	1980
taattgctca ggttaaatga aatagtttc cggcgtctc aaaaacaaat tgcaactgata	2040
aaacaaaaac aaaagtatgt tttaaatgct ttgaagactg atacactcaa ccatctatat	2100
tcatgagctc tcaatttcat ggcaggccat agttctactt atctgagaag caaatccctg	2160
tggagactat accactatTT tttctgagat taatgtactc ttggagcccg ctactgtcgt	2220
tattgatcac atctgtgtga agccaaagcc ccgtgggtgc ccatgagaag tgtccttgTT	2280
cattttcacc caaatgaagt gtgaacgtga tgtttcgga tgcaaactca gctcagggat	2340
tcattttgtg tcttagttt atatgcattc ttatTTaa tacacctgct tcacgtccct	2400
atgttggaa gtccatattt gtctgtttt cttgcagcat catttcctta caatactgtc	2460
cggtggacaa aatgacaatt gatatgttt tctgatataa ttacttttagc tgcaactaaca	2520
gtacaatgct tgttaatggc taatataggc agggcgaata ctactttgtc actttaaag	2580
tcttaaactt ttcaataaaa ttgagtgaga cttataggcc caaaaaaaaaa aaaaaaaaaa	2640
aaaaaaaaaa aaaa	2654

<210> 7
 <211> 4846
 <212> DNA
 <213> Homo sapiens

<400> 7	
tccggcctat ttctctgcag cgctccttcc ctggcccgga gacggaaagg cacacggtgt	60
gcagggcag agacaccatg tccttaggag gcagcatcct aagagtggtg aaaacccctc	120
ccactgctca cttgggtctc tttcccttct cttcccttac cttgttcaag ggccccgggt	180
tggcttcaac ccggggcttc catggttca ggttttcctt cccttcctt ttcccccaagg	240
tcgctggAAC cagggctgcc ttccagcact tcatggggca cctggactt ctggccgtgt	300

sequence listing divisional 1 ST25

ggccaaaggc cccgcagttt ttgcacttga gctgtgggtg gaaaggaagt gatgtcagtg	360
agtgagctga agccacagggc agcgatccca cgtcaacatt gggacggatt gtgaattcag	420
agctgaataa ggattccaaa gaggggacac cgcatgggg gccgttaagt gctggagag	480
ttcggatacg atgttccctc gcaaagccc gtgacggag gaactctgaa aggaaggact	540
caaggttcca aggggcacga tggtaagcc gatgtcaaca acgcagccaa acgtggctac	600
acaggactct aagtagaaag ggaggttgcc cccaagagtc tctcaaggga cctatcggc	660
cggggagaag gtcccaagcc acgcccacct tggatggaa aagcaacctg gctgggtgt	720
acagaactct ttggaatcca acccagtctc tgaggaccgt gggacacccc ctccccctgt	780
ccccaccccc accccgatac ccaagagatc cagggctaga cttaccctgg gatcttcttc	840
atcggggggg ggagcccttg gccaactgg ggccctccgc tgcttctgga gggtctggc	900
tctcaccagt ctcttggccc aagatgtggg gtcccacgt gccatcatct tcgtctcctg	960
ggggtttat gaccgcctt ttcaggggtg gactgttggg ccacctgaaa cacacacaaa	1020
cacacacatg tcgatggta agcacgttgg atattcacac acccacagga agccacacctc	1080
taactccctg cctgtgttgt catgaggaga ctcaccacc agtcggtaaa atctgtagaa	1140
cacaatgtgc tgtgcgcatt ctcggatatt gtgtgttct ctgccatgac tacctagtcc	1200
aagagtaaac cccacctgcc acagggcccg tggcctaggt atggggggtt gagcttcaa	1260
ccccaaacaa acaactgatt ctggagactg gacttaggtc tctcacgatt cactccggta	1320
gaagacacgg tgattctatc tcccttgacg gacagaatga tcgaagacac agggcatggc	1380
gtgtgccacc cttggcagg tctgcttggaa gtcagggata agggatgctt cctgtgacaa	1440
cttgaatcgc tactcttgcc atttcattag gcaacttcca aacacaaatt catacagaga	1500
agttaccttc ctctctaccg cactagcagg tgatggtctt tcctgttcta tctttggct	1560
ttagctccag cccctttta tttatccc tggatttta cgcataccac acgaattcat	1620
ctgaacaaac gggaaagaag tgccatatcg tatcgacgtc ttacacggct caagggccaa	1680
ccaccctttt ttccaaagtc ctttgccgt ttacccacca attcagcatg ctgcagtgaca	1740
tttctttcg cattccatc ttggcttct cccacacgtg gagacggata tgtttctcg	1800
ttttctgttc caggaattac tagtaacgag aacacatcct accccaccag caagccccag	1860
tgtgatcggt ttcttcggc ctcccttgc tcttcctccc cccacacccc cgcaaaaacc	1920
ccccaggat tgcgtgaaag aaacaattgt tcagcgaaac caacctgaaa ttacacgtct	1980
actttcttc ccaggctggc gctgagatgg gcaggtgctg cagcagccccc gctgaaagcg	2040
atgcagcatc caggacgacg gaggaagggg cgagagggga cctctgttt ccaggctgcc	2100
ttttatactg cctctggta cctgacatgg aacgtaccct aacctaattca gttacctgtta	2160
ccttaattgc aattaactta atccaattac atgacctgga aaggtctatc tgcacagccc	2220
actctaagat cctgtccact gctgacagac attctaaaac ctacttgtac agctgcaagc	2280
tttgaacaat agatgttccc cgtcagacat gtaacactgg tgcctgtatc cctgtttct	2340

sequence listing divisional 1.ST25

tttccatctt	ttttgttgtt	ttgtttgtt	tcgtttaaa	aatgtggta	aatagacac	2400
cttttaattg	gaccacattt	tgtctctc	gacgtaggcc	tcagtgtcat	caaggagact	2460
ctccttgaca	tgcagtacg	gccatgatcc	atcttcagag	cttctttc	ttcccccaagg	2520
taagtctgtc	agcagagaac	cctgaccgca	ccctcatgtg	tttctcccc	caggaggcgc	2580
ttggaaacca	ccgtgaattt	gaccgcactg	ggaaacacag	atgaggaaag	tcaacaacgc	2640
tttgtccttc	agtgcctgcc	tcctttca	gctcgtctt	cgactcccgg	acgcctgtga	2700
ggctgttaatt	ccctgggtcc	cattgccatg	tctctggatt	tgcgaagatc	caccgcacct	2760
tctgtggaac	tcccgtgtcg	gtgaactttt	gtgccacggc	ccctaatttct	gcccatggtc	2820
atccgcacct	gcacgactta	gggtccatgt	tccttggacg	ggaagagaca	ggcaggagtc	2880
ggaatgtatga	accagcacac	tggggcgttt	tctcatgtag	cccaagtgac	cccatggtct	2940
tctcgagctt	tggaaccagt	cgcgtccct	ttgacactgc	acccggctcc	cagtctctca	3000
atcttgttgg	ccctccggcg	atctcccggt	ggatgtttt	ctcctgctga	aactccagtc	3060
ccctttgatt	tgcgttcat	taattattca	tgattcaggt	tggaaggcct	gctgacgacc	3120
ccctgtggcc	gttctctgag	ctttcctgtc	acatcgttc	cttccacgct	ctttggttcc	3180
ttatggtcct	gctccctctg	ctgtcagagg	agcagagagt	tgttcttatt	cattctggat	3240
acggatactt	tcttaggtat	ctggataatc	aagataacga	ccctcaacag	cggcggagag	3300
ggagcagcca	gttgggtgtgt	ctcagaaaat	cccactgagt	tccgaggcct	cctagatgtg	3360
gaatcctgct	gagagttgtt	cccaggtcag	agaatggaga	gagcctgtgc	atgtatggat	3420
atccctgcct	agatcttca	gtgagtctct	acctcagcta	ctcttaggat	cagggggaga	3480
accatgggt	cagacatccg	gaaagaagac	gggatgaatg	tttacctct	gaagtacatc	3540
ccaaatgtgg	gagtttaactt	cagcttgct	ggggtctatt	tggccagtga	aactctgcct	3600
ggttccttcg	cacatccgga	agccacttca	ccccggggccg	tcgcaactgg	aaccacacac	3660
ttggcatcg	cgggtgagcc	aatggggac	tcgtgggtca	agcaacgctc	cccacgtgtt	3720
agcgtgcgtg	agatgcgggtt	ggcgggattt	tactaggtgc	gtgtggtag	agtggggctg	3780
aggttttctt	gctcctgtgg	atgtatagca	agtcaaagg	cctgcccagc	cctgcggtcc	3840
cctcagtcaa	ctctgtttcg	gagacgtaac	gattggatt	gccacaagt	caagaaatgt	3900
tcaagccctt	ggatgttaggg	taaagaaaga	gagatcagac	tgtcactgtg	tctatgtaga	3960
aggggaagac	ataagagact	ccatttgaa	aaagacctgt	agttaaaca	attgcttgc	4020
tgagatgttg	ttcatttgtt	gccttgccctc	atccactttg	ccccagcccc	tttgacccaa	4080
cttggagctc	acaaaaaacct	gtgttgtata	aaatcgaggt	ttagggatc	tagggctgtg	4140
caggatgtgc	tttggtaacc	aatgtttac	aagcagtata	cttggtaaaa	gtcattgcc	4200
ttctctagtt	tcaataaacc	agggcacta	tgcaccgtgg	aaagccgcag	cgacctctac	4260
ccttgaaagc	agggtattgt	ccaaggtttc	tcccatgtg	atagtctgaa	atatggcctc	4320
gtgggatgag	aaagacctga	ccatccccca	cccccccccc	cgtaaagggt	ctgtgctgag	4380

sequence listing divisional 1.ST25

gtggattact caaagaggaa agcctttgc agttgagaga gaggaggcc gctgttcct	4440
gcctgcccct gggactgaa tgtctcgta taaaacacga ttgtacattt gttcaattct	4500
gagatgagag aaaaaccacc ctatggtag aggcgagaca tgttacagc aatgctgcct	4560
tgttattctt tactccactg agatgttgg gtggagagaa acataaatct ggcttacgta	4620
cacatccagt catagtacctt ttccttgaac ttccttatga agtagattct atttctcaca	4680
tgttcgttgc tgaccttctc cttattatca ccctgtgctc ctactacatt ccttttgct	4740
aaaataataa aaataatagt caataaaaac taagggact cagaggcctg tgccggtgca	4800
ggtccttgt atgctgagcg ccggccccct aggcccactg ttgttt	4846

<210> 8
<211> 485
<212> DNA
<213> Homo sapiens

<400> 8	
gaagggaaaga tgaacttgag tttcacttct tagtgccctt tctcaggggaa gaggccatca	60
cttgaagatg ctgagtcttc tgctccttct cctgggacta ggctctgtgt tcagtgtgt	120
catctctcaa aagccaagca gggatatctg tcaacgtgga acctccctga cgatccagtg	180
tcaagtcgat agccaagtca ccatgatgtt ctggtaccgt cagcaacctg gacagagcct	240
gacactgatc gcaactgcaa atcagggctc tgaggccaca tatgagagtg gatttgcatt	300
tgacaagttt cccatcagcc gcccaaacctt aacattctca actctgactg tgagcaacat	360
gagccctgaa gacagcagca tatatctctg cagcgttcaa gatagggaca gagtctacaa	420
tgagcagttc ttccggccag ggacacggct caccgtgcta gaggacctga aaaacgtt	480
cccac	485

<210> 9
<211> 5184
<212> DNA
<213> Homo sapiens

<400> 9	
gctttacact cgcgagcggaa ccgccacacg ggtccgggtgc ccgctgcgt tccgccccag	60
cgctcctgag gcggccgtac aatcctcggc agtgcctga gactgtatgg tcagtcagc	120
ccggcctccg actccctccg actcccagca ttcgagccac tttttttt ctttggaaac	180
tcagaaaaat gactcctttt ccagggaaaa aggaacttgg gttcccttct ctccgtcc	240
ttttcgggtc tgacagcctc cacccactcc ttccccggac cccgcctccg cgccgagg	300
cctcccgatc accttctcc accccggccc ccgcacctag cccgcgcgc gccaccttcc	360
acctgactgc gcggggcgct cgggacctgc ggcacacccg gacccatcacc acccgccgg	420
gccgcgggaa gcggacgagg gccacagccc cccacccgccc agggagccca ggtgctcggc	480
gtctgaacgt ctcaaagggc cacagcgaca atgacagctg acaaggagaa gaaaaggagt	540
agctcggaga ggaggaagga gaagtcccg gatgctgcgc ggtgccccgg gagcaaggag	600

sequence listing divisional 1.ST25

acggaggtgt tctatgagct ggcccatgag ctgcctctgc cccacagtgt gagctccat	660
ctggacaagg cctccatcat gcgactggca atcagcttcc tgcgaacaca caagctcctc	720
tcctcagttt gctctgaaaa cgagtccgaa gccgaagctg accagcagat ggacaacttg	780
tacctgaaag ccttggaggg tttcattgcc gtggtgaccc aagatggcga catgatcttt	840
ctgtcagaaa acatcagcaa gttcatggga cttacacagg tggagctaac aggacatagt	900
atctttgact tcactcatcc ctgcgaccat gaggagattc gtgagaacct gagtctcaaa	960
aatggctctg gttttggaa aaaaagcaa gacatgtcca cagagcggga cttcttcatg	1020
aggatgaagt gcacggtcac caacagaggc cgtactgtca acctaagtc agccacctgg	1080
aaggcttgc actgcacggg ccaggtgaaa gtctacaaca actgcccctcc tcacaatagt	1140
ctgtgtggct acaaggagcc cctgctgtcc tgcctcatca tcatgtgtga accaatccag	1200
cacccatccc acatggacat cccccctggat agcaagacct tcctgagccg ccacagcatg	1260
gacatgaagt tcacctactg tcatgtgtga atcacagaac tgattggta ccaccctgag	1320
gagctgcttgc gcccgtcgc ctatgaattc taccatgcgc tagactccga gaacatgacc	1380
aagagtcaacc agaacttggt caccaagggt caggttagtaa gtggccagta ccggatgctc	1440
gcaaagcatg ggggctacgt gtggctggag acccagggga cggtcatacta caaccctcgc	1500
aacctgcagc cccagtgcatacatgtgtc aactacgtcc tgagttagat tgagaagaat	1560
gacgtgggtgt tctccatgga ccagactgaa tccctgttca agccccacct gatggccatg	1620
aacagcatct ttgatagcag tggcaagggg gctgtgtctg agaagagtaa cttccttattc	1680
accaagctaa aggaggagcc cgaggagctg gcccagctgg ctcccacccc aggagacgcc	1740
atcatctctc tggatttcgg gaatcagaac ttcgaggagt cctcagccta tggcaaggcc	1800
atcctgcccc cgagccagcc atggccacg gagttgagga gccacagcac ccagagcgag	1860
gctgggagcc tgcctgcctt caccgtgccc caggcagctg ccccccggcag caccaccccc	1920
agtgccacca gcagcagcag cagctgctcc acgcccataa gccctgaaga ctattacaca	1980
tctttggata acgacctgaa gattgaagtg attgagaagc tcttcgcccatt ggacacagag	2040
gccaaggacc aatgcagtac ccagacggat ttcaatgagc tggacttggaa gacactggca	2100
ccctatatcc ccatggacgg ggaagacttc cagctaagcc ccatctgccc cgaggagcgg	2160
ctcttggcgg agaaccacca gtccacccccc cagcactgct tcagtgccat gacaaacatc	2220
ttccagccac tggccctgt agccccgcac agtcccttcc tcctggacaa gtttcagcag	2280
cagctggaga gcaagaagac agagcccgag caccggccca tgtcctccat cttctttgat	2340
gccggaaagca aagcatccct gccaccgtgc tgtggccagg ccagcacccc tctctcttcc	2400
atggggggca gatccaatac ccagtggccc ccagatccac cattacattt tggccacaca	2460
aagtggggccg tcggggatca ggcacacagag ttcttggag cagcgccgtt ggggccccct	2520
gtctctccac cccatgtctc caccttcaag acaaggctg caaagggttt tggggctcga	2580
ggcccagacg tgctgagtcggta gcccatttcca acaagctgaa gctgaagcga	2640

sequence listing divisional 1-ST25

cagctggagt atgaagagca agccttccag gacctgagcg ggggggaccc acctgggtggc	2700
agcaccc tac atttgatgtg gaaacggatg aagaacctca ggggtggag ctgcccttg	2760
atgccggaca agccactgag cgcaa atgta cccaatgata agtcaccca aaacccatg	2820
aggggcctgg gccatcccct gagacatctg ccgctgccac agcctccatc tgccatcagt	2880
cccggggaga acagcaagag cagg tcccc ccacagtgtc acgccaccca gtaccaggac	2940
tacagcctgt cgtcagccca caagggtgtca ggcattggcaa gccggctgct cggccctca	3000
tttgagtcct acctgctgcc cgaactgacc agatatgact gtgaggtgaa cgtgcccgtg	3060
ctggaaagct ccacgctcct gcaaggaggg gacccctca gagccctgga ccaggccacc	3120
tgagccaggc cttctacctg ggcagcacct ctgcccacgc cgtcccacca gcttcactct	3180
ctccgtctgt tttgcaact aggtatttct aacgccagca cactatttac aagatggact	3240
tacctggcag acttgcctcag gtcaccaagc agtggccctt ttctgagatg ctcactttat	3300
tatccctatt tttaaagtac acaattgttt tacctgttct gaaatgttct taaatttgt	3360
aggatttttt tcctccccac cttcaatgac ttctaaatttattatccat aggtttctct	3420
ccctccttct cttctcaca cacaactgtc catactaaca agtttgtgc atgtctgttc	3480
ttctgttaggg agaagcttta gtttcattttt actaaaaaga ttccctcgta ttgttgttgc	3540
caaagagaaa caaaaatgat ttgcttcc aagcttggtt tgtggcgtct ccctcgaga	3600
gcccttcctg tttttttttt aaactaatca ccatattgtt aatttcaggg tttttttttt	3660
tttgtttaag ctgactcttt gctctaattt tggaaaaaaa gaaatgtgaa gggtcaactc	3720
caacgtatgt gtttatctgt gaaagttgca cagcgtggct tttcctaaac tgggtttttt	3780
cccccgcat tggtaggtttttt tttttttttt ttcaaaaaaca taactgagtt tttttttttt	3840
ggagaaaaatt tatactggg ttaagtgtttt atcatatata tgggtacttt gtaatatcta	3900
aaaacttaga aacggaaaatg gaatcctgct cacaatata ctttaagatc ttttcgaagc	3960
tgttaattttt tcttagtgtt gtggacactg cagacttgc cagtgtccc acggcctgta	4020
cgacactgt ggaaggcctc cctctgtcgg ctttttgcctt tctgtgatat gccatagggt	4080
tgacaatccg agcagtggag tcattcagcg ggagcacatgc gcgcataccc ctcacattct	4140
ctatgtacta tgtatgtatg tattattattt attgctgcca agagggtctg atggcacgtt	4200
gtgggttcgg ggggtggggc ggggaagtgc tctaactttt ctttaagggttt tggcttagc	4260
ccttcaagtgc cactgagcta tgtgactcgg atggctttt acacggcaca tttggacatt	4320
tccagaacta ccatgagatg gtttagacgg gaattcatgc aatgagggg tcaaaaaatgg	4380
tatagtgacc ccgtccacgt cctccaagct cacgacatttgc gagcccccgtg gagctggact	4440
gaggaggagg ctgcacagcg ggagagcagc tggccagac cagccctgca gccccactc	4500
agccggcagc cagatggccc cgcaaggcct ccagggatgg cccctagcca caggccctgg	4560
ctgaggtctc tgggtcggtc agtgacatgt agtaggaag cactgaaaat agtggccca	4620
gagcacatttgc caactccctg ggtaagaggg acgacaccc tcggttttca ataccaatta	4680

sequence listing divisional 1-ST25

catggaaacctt ttctgtatg ggtacaatga agaagtttct	aaaaacacac acaaaggcaca	4740
ttggggccaac tatttatgtaa gcccgatag acttattgcc	aaaaacaaaa aatagcttc	4800
aaaagaaaatt taagttctat gagaaattcc tttagtcatgg	tgttgctaa atcatatTTT	4860
agctgcacgg cattaccccacacagggtgg cagaacttga	agggttactg acgtgtaaat	4920
gctggtattt gatttccctgt gtgttgtgcc ctggcattaa	gggcatttt cccttgcagt	4980
tttactaaaa cactgaaaaa tattccaagc ttcatattaa	ccctacctgt caacgtaacg	5040
atttcatgaa cgttattata ttgtcgaatt cctactgaca	acattataac tgtatggag	5100
cttaacttta taaggaaatg tattttgaca ctggtatctt	attaaagtat tctgatccta	5160
ccactgaaaa aaaaaaaaaaaa aaaa		5184

<210> 10
<211> 4007
<212> DNA
<213> Homo sapiens

<400> 10		
acttccgctc cacgcagcgc ctgtgctgcc	gcgtctcgac gtgtcaccgg cggcgccgct	60
gctgtggcaa aggaaggagc tgactgggg agttcgaggc	ggcgccggc ggtgaccccg	120
gcctggact gccccggtac ggaagtgttc cggggccgt	ggggagcagg agagggaggc	180
ggcggaccgt cccgcgcgg gcacgatgtt	gaacatgtgg aaggtgcgcg agctggtgga	240
caaagccacc aatgttgtta tgaattatttc	agagatcgag tctaaggttc gagaggcaac	300
gaacgatgat ctttggggac cttctggca	actcatggga gagattgcca aggctacatt	360
tatgtatgaa caatttccag aacttatgaa	catgcttgg tcacgaatgt taaaagacaa	420
caaaaagaat tggagaagag tttataagtc	gttgctgctc ctagcttacc tcataaggaa	480
tggatcagag cgtgttgtta	caagtgccag agaacacatt tatgatttac gatccctgga	540
aaattaccac ttttagatg agcatggtaa	ggatcaaggt ataaatattc gacagaaggt	600
gaaggaattt gttgaatttgc	cccaggatga cgacaggctt cgtgaagagc gaaagaaagc	660
aaagaagaac aaagacaagt atgttgggt	ttcctcagac agtgttgag gattcagata	720
cagtgaaaga tatgatcctg	agcccaaattc aaaatggat gaggagtgg ataaaaacaa	780
gagtgcctt ccattcagtg	ataaattagg tgagctgagt gataaaattt gaagcacaat	840
tgatgacacc atcagcaagt	tccggaggaa agatagagaa gactctccag aaagatgcag	900
cgacagcgat	gaggaaaaga aagcgagaag aggtagatct cccaaaggtg aattcaaaga	960
tgaagaggag	actgtgacga caaagcatat tcatatcaca cagggcacag agaccaccac	1020
aaccagacac aagcgacac	caaattcttc caaaaccatt gatcttggag cagcagcaca	1080
ttacacaggg	gacaaagcaa gtccagatca gaatgcttca acccacacac ctcagtcttc	1140
agttaagact	tcagtgccta gcagcaagtc atctggtgac cttgttgatc tggttgatgg	1200
caccagccag	tcaacaggag gatcagctga ttatttcgga ggatttgctg actttggctc	1260
agctgctgca	tcaggcagtt tcccttccca agtaacagca acaagtggga atggagactt	1320

sequence listing divisional 1.ST25

tggtgactgg	agtgccttca	accaagcccc	atcaggccct	gttgcttcca	gtggcgagtt	1380
ctttggcagt	gcctcacagc	cagcggtaga	acttgttagt	ggctcacaat	cagctctagg	1440
cccacccct	gctgcctcaa	attcttcaga	cctgtttagt	cttatggct	cgtcccaggc	1500
aaccatgaca	tcttcccaga	gtatgaattt	ctctatgatg	agcactaaca	ctgtggact	1560
tggtttgctt	atgtcaagat	cacagaatac	agatatggtc	cagaatcag	tcagcaaaac	1620
cttgccctct	acttggtctg	accccagtgt	aaacatcagc	ctagacaact	tactacctgg	1680
tatgcagcct	tccaaacccc	agcagccatc	actgaataca	atgattcagc	aacagaatat	1740
gcagcagcct	atgaatgtga	tgactcaaag	ttttggagct	gtgaacctca	gttctccatc	1800
gaacatgctt	cctgtccggc	cccaaactaa	tgcttgata	gggggaccca	tgcctatgag	1860
catgccaat	gtgatgactg	gcaccatggg	aatggccctt	cttggaaata	ctccgatgat	1920
gaaccagagc	atgatgggca	tgaacatgaa	catagggatg	tccgctgctg	ggatgggctt	1980
gacaggcaca	atgggaatgg	gcatgccaa	catagccatg	acttctggaa	ctgtgcaacc	2040
caagcaagat	gccttgcaa	atttcgccaa	ttttagcaaa	taagagattt	taaaagaagc	2100
agattgaatg	aagaattttt	agctgtgcag	ataggtgatg	ttgggatgga	aaatgctaatt	2160
caactaccct	ttcttttattc	aagtaattaa	aataaatcta	cataaagaac	caaaaaggct	2220
gttttataaa	agtgaatata	ccagtatttc	agagggccag	gcaagagcac	ttcagatgag	2280
gcagtcaaaa	tcattttttt	ccagtgagga	tagaccacaa	gtgggtggtg	agaccattga	2340
aagccttat	caactgaaga	gtccatttaa	cagcataatt	tgtggaaaga	ctggaatagg	2400
gctgaataaa	tgtgttgaa	tctctaattt	tatactttct	tttcctgagg	aacttgattt	2460
ttctgtccct	ggatgcctt	gtcataattt	ggtctgttcc	tttactacc	actcttgagt	2520
ccatatatga	aatcattaaa	gttggatgat	cagttttta	taaaaaatata	tattttgtc	2580
caagaaaaaa	aaaagcatac	atatgtgatt	atggctaat	caaaggtaac	tggaatgtat	2640
atactttgc	taatgttcca	gcaacactgc	tattatacta	tccaaatttt	tattgtaaca	2700
aaacctctt	aagcaattgg	tgattgccat	gggactttc	ccatgtctc	tgctgttaatt	2760
atcctgtgca	gaacttaggaa	gaaatttttt	tcaggactgc	tctatggttt	cctttaaaag	2820
aaaaaaaaactt	ctgtttgttt	ttagcagtca	ttatttacaa	tttgcagtga	ttaacttggc	2880
aaggcttcct	tccgtgttta	tccctgttagc	catcattaa	gtcaggaaca	gtcagaaaaaa	2940
tatttatttt	atttttttt	tgggtgtctg	caaaggtaaa	aatccattaa	aaccttaagt	3000
taaatataaa	tgttacaact	caatgtttgc	ttttagattt	tatacagtat	ttgtttgtt	3060
ttggtttga	gtgtatataa	tgcagcatta	gcaatatggt	tccaatagag	gagttaaata	3120
tatattgtt	aaggagacct	gtgcagtca	aagattttat	tgatttaatg	acaaaggaaa	3180
ttaatgaaaa	tgttttgtt	tttctgtgt	aattctgcat	taagctcaca	tgaaaatcat	3240
gattcttagag	tttggaaatgc	aaaattaatt	gttttaccct	caagctggga	atattttca	3300
aaataaatac	tataatatag	atatcaaatt	attacccccc	catgttatgt	tgaaaatttt	3360

sequence listing divisional 1.ST25

tttattaaat tgataaaaact ttatccat tatattcata atgttctgtt atacataaca	3420
ttaaaaatgtt cattaaaatc aatgttgaac tgctttct ttcgttctgt tagacatttg	3480
agaccatttg gggaaaaaat aattatagtt tggcaagt aattttata aataatttaa	3540
aattattnaa tgacttctct attcttcct atcagactct actgttagga attaaaaatg	3600
aaggcagcaaa gatatcctga cctgcctcat tcttgcta at gttccatcta caacattct	3660
aattaggcag aaattcatgt acttcagcta agtggtaatg aaaagtgatt catttgctga	3720
ataagagatg agagtgagtg taattagctg actgcggttt ttaatcttc aacaattcaa	3780
tgtgttaac ttagttcaa agaataggag ctttcaagtg ttgttacttc agagcaatca	3840
agccagcctc tggccgc atagtagaat atggccctg atattnaaaa ccgatcatct	3900
taagtaaatt tttctttaa gaagtatatc ttcacttct caaatatgtt tggttcttag	3960
acgaagtaaa tggttatctg aaccttaaaa aaaaaaaaaa aaaaaaaaa	4007

<210> 11
<211> 3066
<212> DNA
<213> Homo sapiens

<400> 11	
ttccttttat gcgaacacaa gtatatgagg gtttgttaa aaattatccc tctcttgctg	60
tactacaaag agatagaatc aaactgcttt tttcgacat actggttttt cttctgttt	120
ttcttctctt tcttctatcc cttgtggata ttatggctaa taacacaaca agtttaggaa	180
gtccatggcc agaaaaacttt tgggaggacc ttatcatgtc cttcactgtt tccatggcaa	240
tcgggcttgtt acttggagga ttatgggg ctgtgttcat ttgtctgtt cgaagaagaa	300
gagccagtgc tcccatctca cagtggagtt caagcaggag atcttaggtt tcttacaccc	360
acggcctcaa cagaactgga tttaccgcc acagtggctg tgaacgtcga agcaacctca	420
gcctggccag tctcacccctc cagcgacaag cttccctgga acaagcaa at tccttccaa	480
gaaaatcaag tttcagagct tctactttcc atccctttct gcaatgtcca ccacttcctg	540
tggaaactga gagtcagctg gtgactctcc cttcttccaa tatctctccc accatcagca	600
cttcccacag tctgagccgt cctgactact ggtccagtaa cagtcttcga gtggccctt	660
caacaccgccc cccacctgcc tatgagtcca tcatcaaggc attcccagat tcctgagtag	720
ggtggctttt ggttttgtt tctttctgtt cttgtttttt attgaaagga aatcaaaaat	780
aggctaaaca gaattttgag ggcattggccc aaataactca tgagttccaa gttgaaacat	840
ggttgcgaa gttggacatt acaatgtaaa acacatttc ttcaaacacg tttccctt	900
tgtttcaaaa aatgtaatat tttccccaa gcgtttata tttatgtatt ttgtattcaa	960
tgtgaggctt attaaaaata gtgattctaa tgtaagaatc agctaagatg cattatata	1020
attttaatta aaattaaaac ttcagatatt tgtggattac aatcctcatt tacttccaaat	1080
tgactaaaaa agagaaaaaa aatcactgtg tcactttaaa gaaaatctt ctaaggatt	1140

sequence listing divisional 1.ST25

tggattttac	tttctttaga	atgacaagtg	aatcatattg	acatTTTACA	atCTTAGATT	1200
tttctttttt	tttcttttga	gacagggtct	tgatccgtcg	cccaggcggg	agttgcagta	1260
gcatgatcag	gactcaactgc	agcctctatc	tcccaggctc	aagtaatcct	cccatcttag	1320
tgccccaaGT	agctgggact	acaggggtgc	actaccacac	cgggttGAAT	ttttttttaa	1380
tttttagtaga	gatgaagtgt	caCTATGTTA	ccaaggctgg	tctcaaACTC	ctaaactcag	1440
atgatccTCC	tgccTcggcc	tcccaaAGTg	ctggaattag	cctggccat	cttggatttt	1500
taatggAAATA	tgtgggcaca	aaatgacaga	acataggaca	ttctaaAGTT	ccttgatttG	1560
atcattataa	gaagtgtggg	actcaagcac	aggAAactga	actctttgg	tgtcatttGGA	1620
tgtttcattt	ttgacactaa	tttttctgg	acaaactctt	tatgtgtttt	tcccaagaat	1680
agttatctac	ttcctggagg	caaaatcctt	ggatttacta	acatgatgat	ttaccTTTC	1740
ttcacCGTTG	tcgttacatt	gttagAAAAG	caacaggaaa	aaatCCAATT	catttgacct	1800
aaaaacaAGC	ctcaagTTA	aaaccaagct	cacgttttc	ttaagggaaa	aattttcttt	1860
cttAAactta	catctagcaa	cttgAAAGC	actttctctg	gggatcttct	tttGtaactt	1920
tgcagacaaa	taagtatgag	tcactgggga	gagagttgt	tattgaaata	gatgttGCC	1980
atgaagaatt	ctccTTcCTG	gattgactct	taatcatcag	gcatcattcc	tggTTGCTT	2040
ctctacgaat	ctcaattcca	acttctctgc	agagtctgtA	cagtattaa	gccatGCCAG	2100
atggtctttG	gtgcacacag	ttatttaaga	atccacttcc	acaggtggct	gcccttGtaa	2160
ggaagaatgc	atccctaaat	gtggccacca	gagagttcca	gtggcagat	gtctgtggct	2220
gcccttCTCA	tttaaggaca	ttagttcact	ggagtattac	tcaaaaAGTC	tgtggttcat	2280
ttccAGTatt	gtgaatattt	agtttatgtg	gccgtttctt	tgtttctttG	aacagtggga	2340
ttttcAGTGA	aaaagtaccc	tcttttcat	ttccttattgc	agtggtcaca	gctaataGtg	2400
tctgaacatg	gttcaagaat	aagagattcc	atgttagcatt	ttcttttatta	tttcatttC	2460
ccttatatta	tccatcattc	cttaaggaca	attattctta	ataatgctta	tagaaaatgt	2520
tctctaatta	aacatGCCAA	aaggAAAAAG	taagagaaaAG	aggagcaag	aagAAAATGG	2580
aagaaaaaagg	gaaaaaaAGCT	aaccggataa	ccaatttGTT	ataagtttgt	tttcaacaaa	2640
gaaattttagc	agccaagtaa	ggttcaagg	gaatattaac	ttggtatcag	ggctactttt	2700
tttttttttT	tttacttgc	atgtcatcct	taatgtctaa	catgaaaaat	cagcaaAGAG	2760
tatggTTTTT	atcaagaatt	tgtgttgggA	gtaaaaactg	ctttatagct	cccaaattag	2820
gaagagaAGA	gcagaaatcc	tctggggcat	ttaaccatct	ggcagaattg	ttgctgcacc	2880
cttatcccAG	ttataagaca	gtcaaaatga	ctatttctta	aatattgtga	gtgtatgaaa	2940
tgtgaaattta	aagaaaaaac	tggagacttt	taatgttattt	ctttaatttG	aaatgttttG	3000
tggattgtGA	aataaaaata	aatttATGTC	aagttttattt	caaaaaaaaaa	aaaaaaaaaaaa	3060
aaaaaaa						3066

sequence listing divisional 1 ST25

<211> 1089
<212> DNA
<213> *Homo sapiens*

<400> 12
gaggagcctg aggaagaggg cggcgacggt ggtggtaact gagcggagcc cggtgacagg 60
atgttggtgt tggtagttagg agatctgcac atcccacacc ggtcaacag tttgccagct 120
aaattcaaaa aactcctggt gccaggaaaa attcagcaca ttctctgcac aggaaacctt 180
tgcaccaaag agagttatga ctatctcaag actctggctg gtgatgttca tattgtgaga 240
ggagacttcg atgagaatct gaattatcca gaacagaaaag ttgtgactgt tggacagttc 300
aaaattggtc tgatccatgg acatcaagtt attccatggg gagatatggc cagcttagcc 360
ctgttgcaga ggcaatttga tgtggacatt cttatctcg gacacacaca caaatttgaa 420
gcatttgagc atgaaaataa attctacatt aatccaggtt ctgccactgg ggcataataat 480
gccttggaaa caaacattat tccatcattt gtgttgatgg atatccaggc ttctacagtg 540
gtcacctatg tgtatcagct aattggagat gatgtgaaaag tagaacgaat cgaatacaaa 600
aaaccttaaa gccaggcctg tcttgatgat ttttggttt ttttcatgt cctgttggaaa 660
tcaagtaatt aaacatttaa gagccacaaa attgtatcac ttttataata ttttgcagta 720
aaatataata ccatcttctc tgttaataca taattgctcc aagcttcctg taaaactataa 780
gaatataattt agtttacagt atatggattc tatgaaaaaaa tgtccacaac acagtaattg 840
gtcacttggtt aagaaaaatt tatccttgta agtatcttca aagttgatat ttggaaacttt 900
attccaaaag tagtgcattgt ggagaaaagaa tctagacttt cttgtataca ttttctctt 960
ctccagtaat aaacaattac ctttcattta tactttgata acctgttattt aatttaaaaa 1020
aaaacataaa aatgaggaac caagtgaaac tacggatata aatattaaag tggacgagat 1080
gacctttca 1089

<210> 13
<211> 2558
<212> DNA
<213> *Homo sapiens*

sequence listing divisional 1.ST25

gagattacta ttctgacttc tcagcctgga aaagagggtgg tcaaacagtggaggg	600
ttgaaagata cagacccatgc cagagtcagg aggtttcagg tcggtttaggt cacaaggaa	660
atccttagagc acgtggactc agcgctcct gttgaggata ccagcaatga tgagagttct	720
attctggaa ctgacattga ccttcagact atagacaatg atatcgtag catggagatt	780
ttcttcaaag cctggctaca taacagtggaa acagaccaag aacaaatcca tcttcttctt	840
tcttcacagt gtttcagcaa cattccaga cccagagata atccaatgtg tctgaaatgt	900
gatctccaag agcgactgct ctgcccattcc ctactcgctg gcacagctga cggctccctg	960
agaatggatg accctaaagg agacttcatc acactctacc agatggcttc ccagtcatcg	1020
gcctctcatt acaagctcca agtgatcaag gctttaaaat cttagcgggct ctgcgagtca	1080
ttgacatatg gactcccgtt catcctcaga cctacaagct gttggcagct ggactggat	1140
gagctggaga caaatcagca acattccat gctttgtgtc acagcctgct gaaaaggaa	1200
tggctgtgt tagccaagg ggaaccaccg ggcccaggac acagccagag aattcctgcc	1260
agcaccttct atgtgatcat gccgtcacac tccctcacac tgctggtaaa ggcggggcc	1320
acgcgggaac ttagtgcgtcc cagcacccctc cccctgctac ctgaggaccc acatgatgat	1380
agcctaaga atgtggagag catgctggac agcctggagc tggagccac ctacaacccc	1440
ttgcatgttc aaagccacct gtactcacac ctgagcagca tctatgcca gcctcagggg	1500
cggctccacc cacactggaa gagccgagct ccgagaaagc atccctgcaa gactggcag	1560
ttgcagacca accgagctcg agctactgtg gccccctgc ctatgactcc tgcggcaggc	1620
agagcctcca agatgccagc agccagcaaa tcttcctcag atgccttctt cctgcctca	1680
gagtgggaga aggatccctc aaggccctaa gtcaccagca ccagagccca gctgcccagc	1740
ttaaccatat ccatgctcag gttcacataa tggctatctg tggcagact tgctcttat	1800
ccgcctgagc ctctgtgagt gaggcgtgac tggaaacaa cagccttcct gtcctgtttc	1860
agtgcgtcc cactcctcaa gtctggaaagc gacacacccg agcctgtcct ttctccagca	1920
aggactttca tttcttttag aatcatttgc tactgtttac acaggtgaag attaaacacc	1980
cagtaagctt ctaccattgt taggagcatt cataactcag aatttcttct tgcgtcttg	2040
tgtaaggcagg tggatgaggt cagatcacct ttggtaaact ggacccctagg aacaaggatg	2100
aggtttgaa agctcataaa agacaagtaa gattgaaatc caagcctcat ttccagaccc	2160
gtgccttcc cactacacca ccaggcctca gcctccaaag agacaagtgc ttggcaccta	2220
catgcaaagt gtgtgtctg ggggtggaa gggctgcccgaacaggggaa gaggatggtg	2280
taaaaaaaaaga cctactcctt tcctgttacc ctctccccac atgtaccaac cttcctgttg	2340
ctccctccat ccacagaata atagctacca ttataaaaat gtttactctg ggctgggagc	2400
agtggctcac acctgtatc ccaacacttt gagaggctga ggtggatga tcacttgagg	2460
ccaggagttc gagaccagcc tgagcaacac tgtgagaccc ccccgccatc tctacataaa	2520
taataaaaaac tttttttttttaaaaaa aaaaaaaaaa aaaaaaaaaa	2558

10.09.11

sequence listing divisional 1.ST25